

REBOUND 1740

ALEX. AGASSIZ.

Library of the Museum
OF
COMPARATIVE ZOÖLOGY,

AT HARVARD COLLEGE, CAMBRIDGE, MASS.

Founded by private subscription, in 1861.

Deposited by ALEX. AGASSIZ.

No. 2351



Bd. 4
A T L A S

ZU DEN

ASTERIDEN UND ENCRINIDEN

4
A T L A S

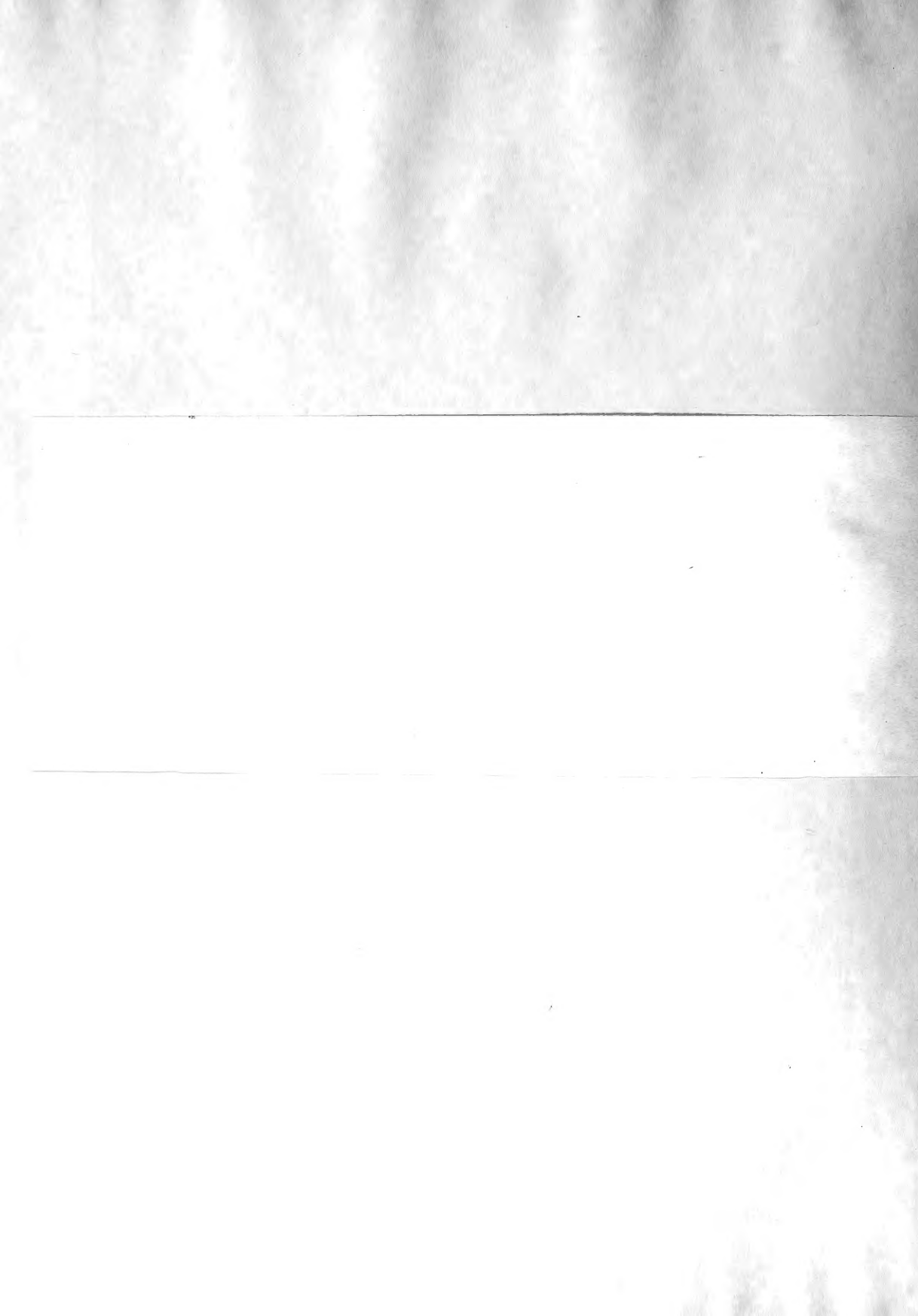
1
zu
2
Quenstedt, Echinodermen. $\frac{3}{4}$

Heft.

LEIPZIG,

FUES'S VERLAG (R. REISLAND).

Sm 1876.



Bd. 4

ATLAS

ZU DEN

ASTERIDEN UND ENCRINIDEN

VON

FRIEDRICH AUGUST QUENSTEDT,

PROFESSOR DER GEOLOGIE UND MINERALOGIE IN TÜBINGEN.

4.

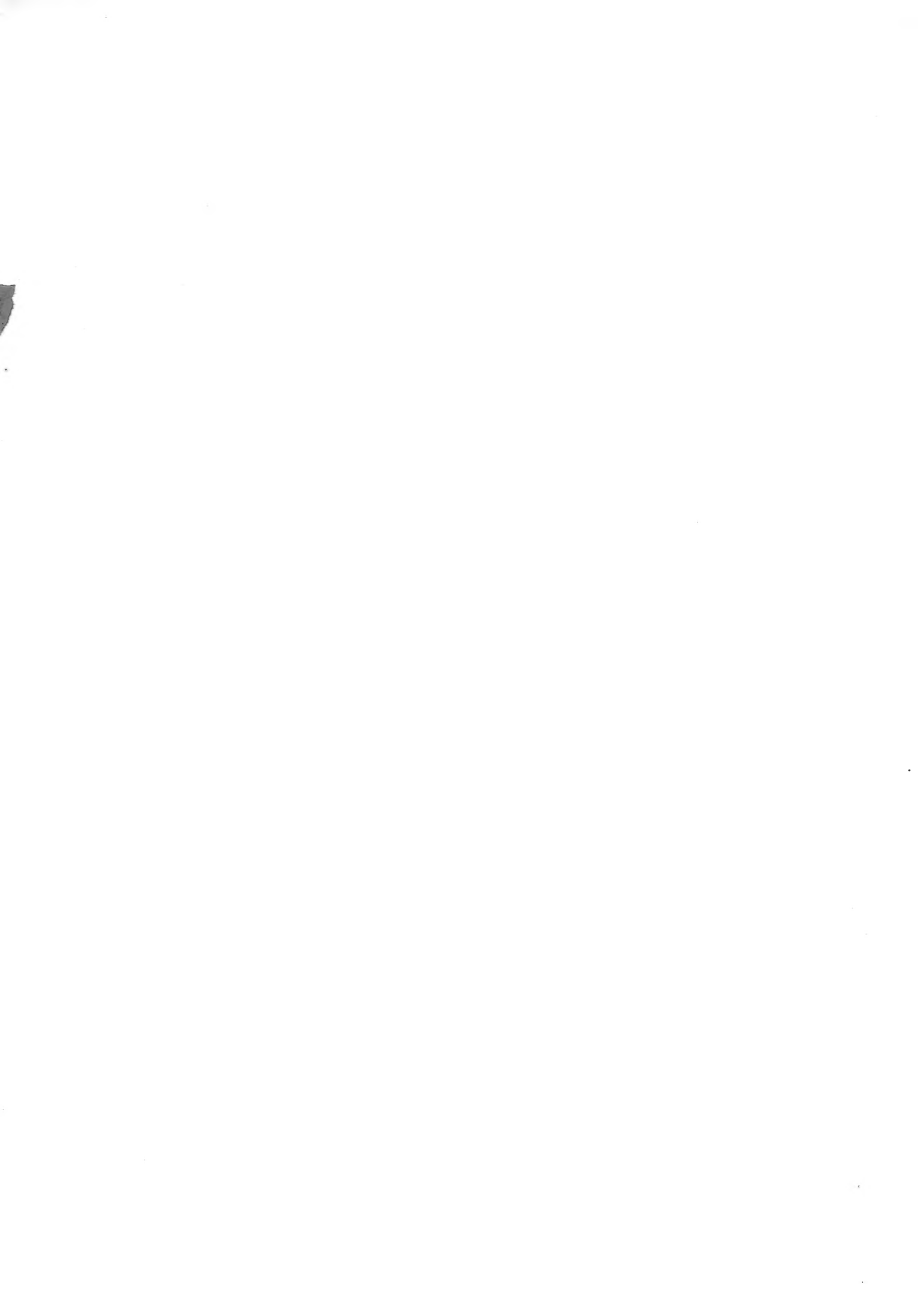
LEIPZIG,

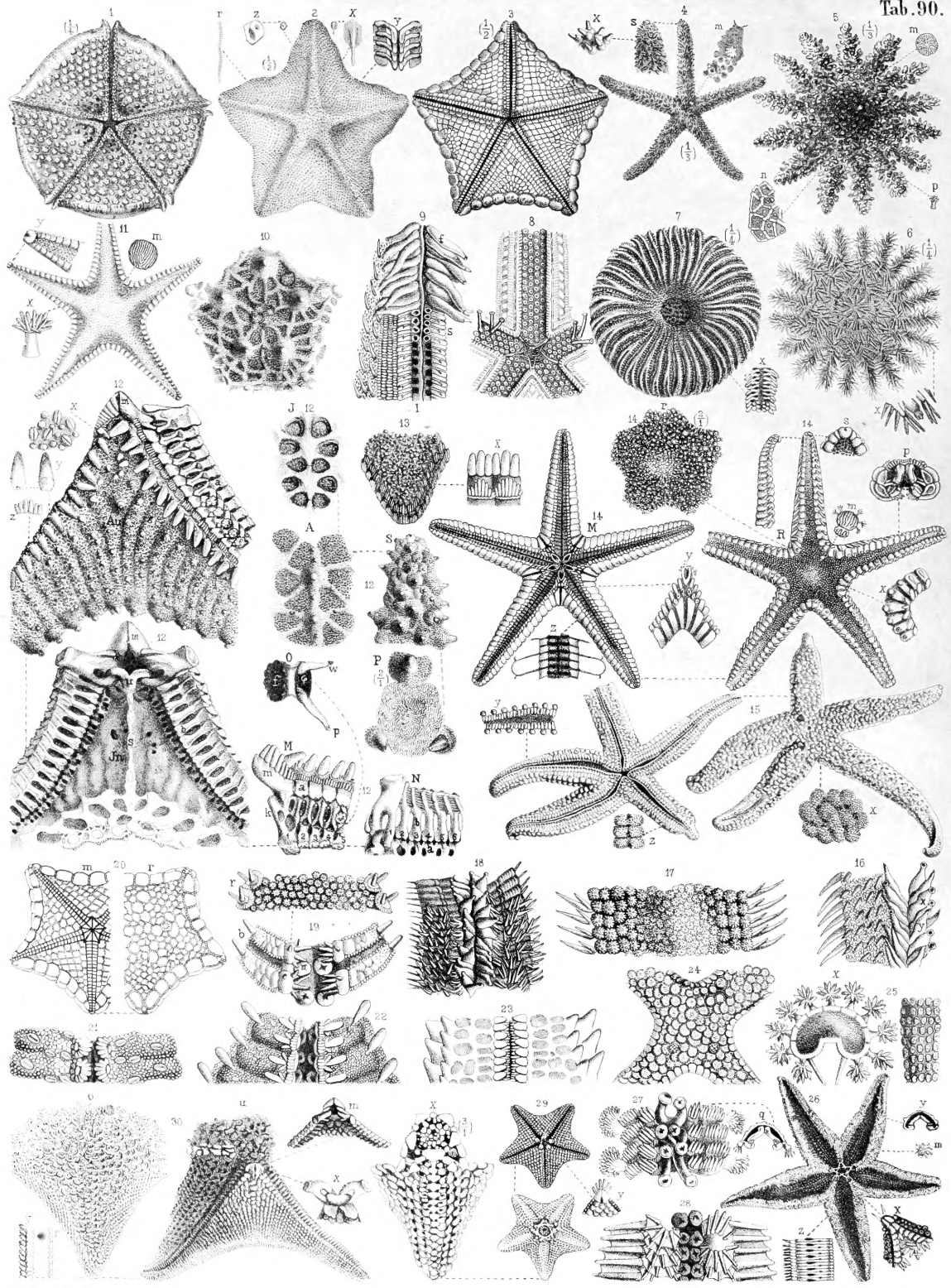
FUES'S VERLAG (R. REISLAND).

1876.

DRUCK VON L. FR. FUES IN TÜBINGEN.

12
18



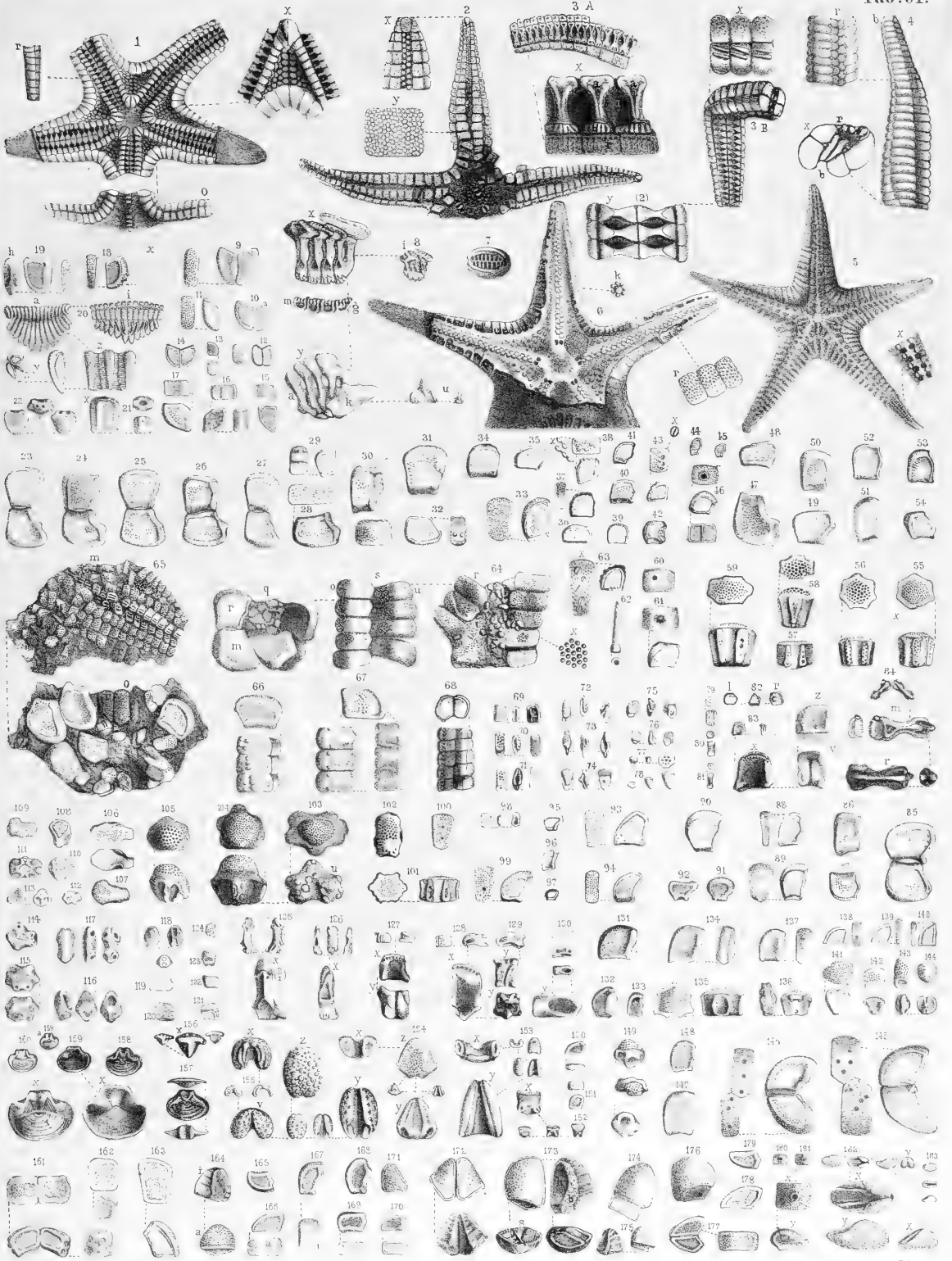


Erklärung tab. 90.

- Fig. 1 *Culcita discoidea* pag. 21, lebt, Copie ($\frac{1}{4}$ natürlicher Grösse).
- 2 *Palmipes membranaceus* pag. 19, Mittelmeer ($\frac{1}{2}$ natürlicher Grösse): *x* vergrösserte Schuppe, *y* *Ambulacra* mit unterliegenden *Adambulacra*, *z* *Adambulacra*, *r* Randansicht.
- 3 *Pentagonaster regularis* pag. 14, lebend, Copie, Mundseite ($\frac{1}{2}$ natürlicher Grösse).
- 4 *Echinaster sepositus* pag. 5, lebend ($\frac{1}{3}$ natürlicher Grösse): *m* After mit Madreporenplatte; *s* bewegliche Stacheln, *x* vergrössert.
- 5 *Solaster papposus* pag. 17, in nordischen Meeren ($\frac{1}{3}$ natürlicher Grösse): *m* Madreporenplatte, *n* Netzwerk von Knochen auf den Scheiben, *p* kolbiger Pappus.
- 6 *Echinaster solaris* pag. 17, lebend in Südamerika ($\frac{1}{4}$ natürlicher Grösse), *s* bewegliche Stacheln in natürlicher Grösse.
- 7 *Heliaster helianthus* pag. 6 (*Asteracanthion*), lebt bei Panama ($\frac{1}{4}$ natürlicher Grösse), *x* Fühler und alternirende Poren.
- 8 *Asterias rubens* pag. 6, Nordsee, copirt von Reaumur, im Centrum der Mund, vier Reihen Füsse gestreckt und in Ruhe.
- 9 *Asterias aurantiaca* pag. 6, Mittelmeer, copirt von Tiedemann.
- 10 *Oreaster tuberculatus* pag. 7, Zanzibar, Centrum des Rückens mit After und Madreporenplatte.
- 11 *Astropecten Johnstoni* pag. 7, Mittelmeer, vom Rücken: *x* vergrösserte Paxillen, *m* Madreporenplatte, *y* Armspitze mit nach oben gekehrtem Augenpunkt.
- 12 *Oreaster reticulatus* pag. 15, Atlantischer Ocean: ein breites Zwischenfeld von aussen, *a* *Ambulacralplatten*, *f* Füsschen; *x* vergrösserte *Pedicellarien*, *y* Stacheln von zwei Seiten, *z* Papillen. In Innenseite zeigt den unpaaren Knochen *u* und die abgeschnittene Scheidewand *s*, *m* Mundplatten. *M* Mundspitze von aussen, *N* von innen, *O* vergrößerter Fuss, *f* die Füssche, *w* und *p* die beiden innern Schläuche, welche die Scheidewand *c* durchbrechen. *A* Radialrücken von aussen, *I* von innen, *S* Armspitze, *P* vergrösserte Madreporenplatte.
- 13 *Oreaster mammillatus* pag. 7, Rothe Meer, Armspitze, *x* vergrösserte Papillen.
- 14 *Astropecten mesodiscus* pag. 9, *M* Mundseite: *y* vergrösserte Mundecke, *z* vergrösserte *Ambulacralfurche*; *R* Rückenseite: *r* vergrösserte Centralscheibe, *s* vergrösserte Armspitze mit Augenassel, *m* vergrösserte Madreporenplatte am Rande mit Paxillen, *q* vergrößerter Querschnitt des Armes, *x* Randplatten vergrössert.
- 15 *Ophidiaster (Linckia) miliaris* pag. 16, indischer Ocean, mit zwei Madreporenplatten: *x* vergrössertes Hautstück mit Poren, *y* *Ambulacralfurche*, *z* Randplatten.
- 16 *Astropecten aurantiacus* pag. 13, Europäische Meere, *x* Füsschen an der Spitze zurückgezogen, *y* gestreckt. Copie nach Tiedemann.
- 17 *Luidia Senegalensis* pag. 13, Rückenseite eines Armstücks, Copie nach Müller.
- 18 *Luidia Savignyi* pag. 13, Bauchseite eines Armstücks, Copie nach Savigny.
- 19 *Ctenodiscus polaris* pag. 13, *r* Rücken, *b* Bauch eines Armstücks, Copie nach Müller.
- 20 *Astrogonium cuspidatum* pag. 15, *r* Rücken, *m* Mundseite, Copie nach Wright.
- 21 *Goniodiscus pentaangulus* pag. 15, Bauchseite, Copie nach Müller.
- 22 *Stellaster Childreni* pag. 15, Bauchseite, Copie nach Müller.
- 23 *Asteropsis carinifera* pag. 16, Bauchseite, Copie nach Müller.
- 24 *Scytaster variolata* pag. 16, Scheibe vom Rücken, Copie nach Linck.
- 25 *Asterias subulata* pag. 17, Stück vom Arm, *x* vergrößerter Querschnitt, Copie nach Chiaje.
- 26 *Asterias rubens* pag. 18, Europäische Meere, von der Mundseite: *x* vergrössertes *Interambulacrum* jederseits mit zwei Reihen Fühler; *m* Madreporenplatte, *y* Querschnitt, *z* *Ambulacral- und Adambulacralplatten* mit alternirenden Löchern.
- 27 *Solaster papposus* pag. 17, Nordsee, Armstück von der Mundseite, Copie.
- 28 *Pteraster militaris* pag. 21, Grönland, Armstück der Mundseite, Copie.
- 29 *Asterias exigua* pag. 19 (*Asterina*), Mittelmeer, *y* vergrösserte Mundecke, *x* vergrößerter Strahl mit Centrum, worin Madreporenplatte und After sichtbar.
- 30 *Asteriscus pectinifer* pag. 20, Chinameer, Arm *o* von oben, Zwischenfeld *u* von unten, *m* Mundplatte mit den ansitzenden Theilen von innen, *x* vergrösserte vordere *Ambulacra* mit den unpaaren Knochen; *y* vergrösserte Randansicht *r*.

Erklärung tab. 91.

- Fig. 1 Asterias prisca ferrata pag. 25, Eisenerz-Brauner Jura β , Wasseralfingen, Mundseite, o Oberseite, x vergrössertes Interambulacrum, r Rand.
- 2 desgleichen pag. 26, daher, Oberseite: x vergrösserte Armspitze, y Granulation der Assehl.
3. A desgleichen pag. 27, daher, Armstück von unten, x vergrössert: a Ambulacralknochen, b Adambulacrum, r Randplatte, i Grube.
3. B desgleichen pag. 27, daher, gebogener Arm, x Randasseln vergrössert, y Ambulacra.
- 4 desgleichen pag. 27, daher, Arm: r vergrösserter Rücken, x Querschnitt.
- 5 Asterias prisca arenacea pag. 28, Brauner Jura β , Gammelshausen.
- 6 desgleichen pag. 28, Brauner Jura β , Metzingen, k vergrösserte Paxille?, r granulirte Randplatten.
- 7 Asterias Cotteswoldiae pag. 29, vergrössertes Ende des ersten Ambulacralknochens, Copie.
- 8 Astropecten mesodiscus pag. 29, lebend, die vordern vier Ambulacral- a und Adambulacralbeine k , w Unpaarer Knochen.
- 9-17 Asterias longassula pag. 30, Brauner Jura δ , Aalen, verschiedene Assehn.
18. 19 Asterias pag. 31, daher, schmal.
- 20 Asterias mesodiscus pag. 31, lebend, Assehn des Randes, i innen, a aussen.
21. 22 Asterias pag. 32, Brauner Jura δ , Oberalfingen, Assehn.
- 23-46 Asterias impressae pag. 32, Weisser Jura α , Reichenbach.
- 47-54 desgleichen pag. 35, Weisser Jura α , Oeschingen.
- 55 desgleichen pag. 35, Brauner Jura ζ , Gammelshausen, Centralplatte.
- 56-59 desgleichen pag. 36, Weisser Jura α , Reichenbach, Centralplatten.
60. 61 desgleichen pag. 36, daher.
- 62 desgleichen pag. 36, daher, Stachel.
- 63 desgleichen pag. 37, Assel mit Pedicellarien?
- 64 desgleichen pag. 37, Weisser Jura α , Geisslingen, Armstück.
- 65 desgleichen pag. 37, Weisser Jura α , Scheibenstück, Sattelbogen, östlich Unterlenningen.
- 66-68 desgleichen pag. 38, daher, Asselreihen.
- 69 Asteriastafel pag. 39, Weisser Jura α .
- 70-76 Asterias impressae pag. 39, Weisser Jura α , Reichenbach, Fülltafeln.
- 77-81 desgleichen pag. 39, daher, Füllsäulchen.
- 82 desgleichen pag. 40, daher, Terminalplatte.
- 83 desgleichen pag. 40, daher, Adambulacrum von 3 Seiten vergrössert.
- 84 desgleichen pag. 40, daher, Ambulacrum.
- 85-100 Asterias spongiosa pag. 41, Weisser Jura α , Lochen etc.
- 101-104 desgleichen pag. 42, daher, Scheibenplatten.
- 105 Asterias γ alba pag. 42, Weisser Jura γ ?
- 106-115 Asterias spongiosa pag. 43, Weisser Jura α , Scheibenplatten.
- 116-118 Asterias pag. 43, daher, symmetrische Knochen.
- 119-124 Asterias spongiosa pag. 43, daher, Hautplatten.
- 125 desgleichen pag. 44, daher, Ambulacralplatte.
- 126 Ambulacralplatte pag. 44, daher.
- 127 Asterias spongiosa pag. 44, Weisser Jura α , Lochen, Adambulacralplatte.
- 128 Adambulacralplatte pag. 44, daher.
- 129 desgleichen pag. 44, daher.
- 130 Assula sculpta pag. 45, daher, y vergrösserte Unterseite.
- 131-133 Asterias jurensis pag. 45, Weisser Jura ϵ , Nattheim.
- 134 desgleichen pag. 45, Weisser Jura ϵ , Germersdorf.
- 135 desgleichen pag. 45, Weisser Jura ϵ , Franken, Centralplatte.
- 136 desgleichen pag. 46, Weisser Jura ϵ , Nollhaus.
- 137-140 desgleichen pag. 46, Weisser Jura ϵ , Schnaitheim, Randplatten.
- 141-144 desgleichen pag. 46, daher, Scheibenplatten.
- 145-149 Asterias jurensis ϵ pag. 46, Weisser Jura ϵ , Oerlinger Thal.
- 150 Asterias jurensis pag. 47, Brauner Jura, Berlin.
- 151 Asterias pag. 47, Lias ζ , Balingen.
- 152 Asterias pag. 48, Lias δ , problematische Platte, Ohmenhausen.
- 153 desgleichen pag. 48, daher, Augenplatte.
- 154 desgleichen pag. 48, Lias δ , Dürnau, z oben, y unten, x hinten.
- 155 Asterias cancriformis pag. 49, Jurassisch, Augentafel x hinten, y unten, z oben, v vorn.
- 156 Asteriscus pectinifer pag. 50, lebend, Unpaarer Knochen, x von unten vergrössert.
- 157 Peltarion pag. 51, Weisser Jura ϵ , Streitberg, verkieselt.
- 158 desgleichen pag. 51, Weisser Jura ϵ , verkieselt.
- 159 desgleichen pag. 51, Weisser Jura α , Lochen, vom Rücken, x vergrössert; 159. a kleinste Form.
- 160 desgleichen pag. 51, Weisser Jura α , Birmensdorf.
- 161-167 Asterias quinqueloba pag. 51, Weisses Kreide, Rügen.
- 168-171 Asterias Plauensis pag. 53, Pläner, Quedlinburg.
- 172-181 Asterias vittata pag. 54, Foraminiferensand der Kreide, Weddersleben.
182. 183 desgleichen pag. 56, daher, Augenplatten.



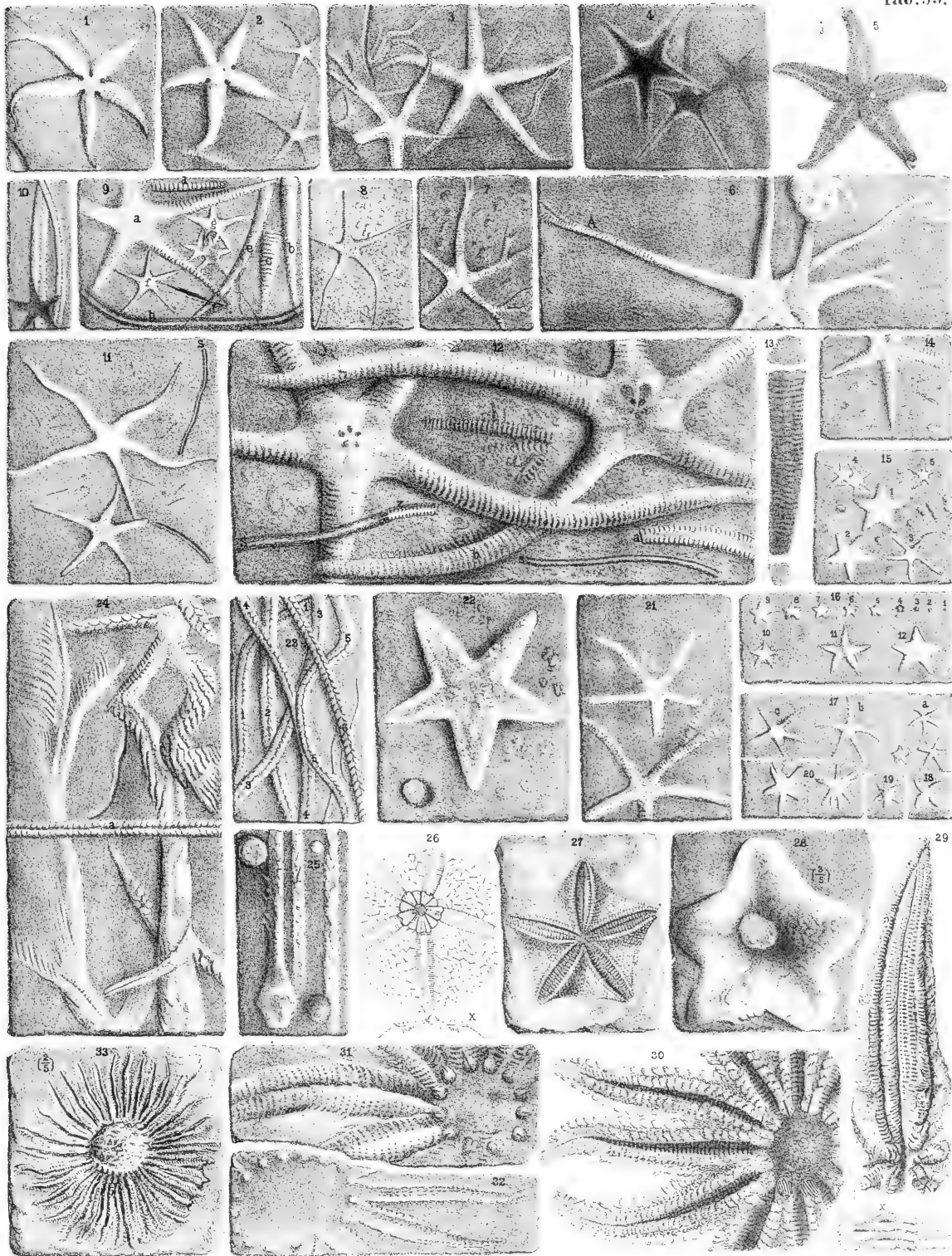


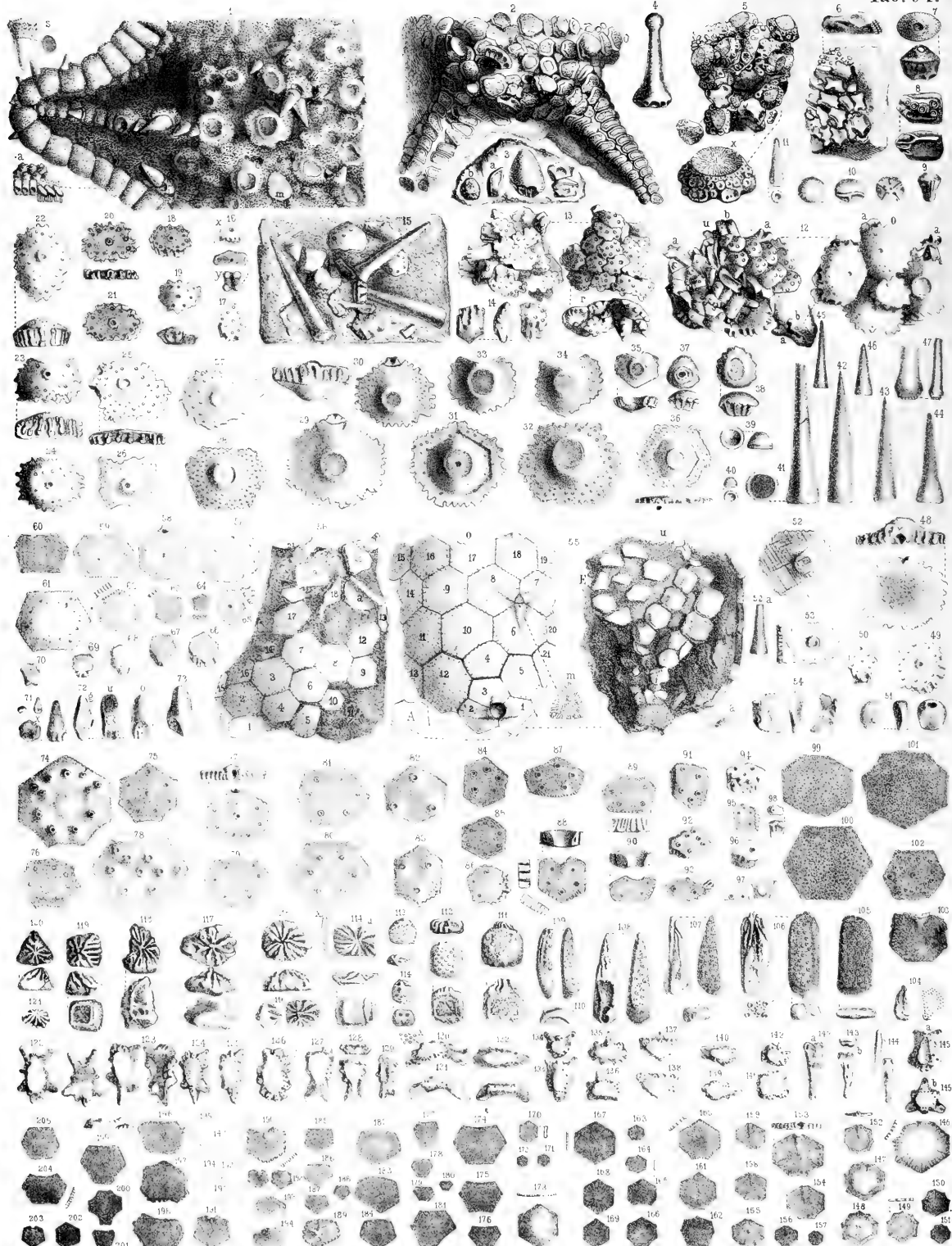
Erklärung tab. 92.

- Fig. 1 Asterias (Goniaster) regularis pag. 56, Weisse Kreide, England: *r* Rücken, *m* Mundseite, *e* Ecke, *s* Rand.
- 2 Asterias semilunatus pag. 57, daher, *y* vergrößerte Adambulacra.
- 3 desgleichen pag. 58, daher, Eckplatten.
- 4 Goniaster rugatus pag. 58, Weisse Kreide, Kent, Copie.
- 5 Goniaster uncatus pag. 58, Weisse Kreide, Wiltshire, Copie: *m* Mund-, *r* Rückenseite.
- 6 Goniaster Parkinsonii pag. 59, Chalk, England, Copie: Mundseite *m*.
- 7 desgleichen pag. 60, daher, Copie: Rückenseite *r*.
- 8 desgleichen pag. 60, daher, Copie: Mundseite.
- 9 Goniaster compactus pag. 60, Upper Chalk, Sussex, Copie: Rückenseite.
- 10 Goniaster Bowerbankii pag. 60, Upper Chalk, Kent, Copie.
- 11 Asterias quinqueloba pag. 60, Kreide, Copie: Mundseite.
- 12. 13 Goniaster cf. Couloni pag. 61, Neocom, Neuchatel.
- 14 Asterias Schulzii pag. 61, Upper Greensand, Blackdown: *m* Madreporenplatte, *x* Ambulacalköpfe, *x* Pedicellarien.
- 15 Goniaster tuberculatus pag. 64, Londonthon, Sheppey, Copie.
- 16 Goniaster Mülleri pag. 65, Leithakalk, Wien, Copie.
- 17 Astropecten Forbesi pag. 64, daher, Copie.
- 18 Goniaster Smithi pag. 64, Weisse Kreide, Kent, Copie.
- 19 Asterias cilicia pag. 65, Hauptmuschelkalk, Hemmersheim.
- 20 desgleichen pag. 68, Hauptmuschelkalk, Simmershofen, *x* vergrößerter Rand.
- 21 desgleichen pag. 69, Encrinitenkalk, Gaismühle.
- 22 desgleichen pag. 68, Hauptmuschelkalk, Simmershofen, Rückenpartie.
- 23 desgleichen pag. 69, daher, Mundseite, *s* Stacheln.
- 24 desgleichen pag. 67, daher, Armspitze von der Seite.
- 25 desgleichen pag. 69, Hauptmuschelkalk, Lenzenbrunn.
- 26 desgleichen pag. 69, Hauptmuschelkalk, Hemmersheim, *x* vergrößerte Ambulacra.
- 27 desgleichen pag. 69, Hauptmuschelkalk, Simmershofen, Mundseite.
- 28 desgleichen pag. 70, Hauptmuschelkalk, Crailsheim: *u* Unter-, *o* Oberseite.
- 29. *a* Stylolith pag. 70, Hauptmuschelkalk, Tiefenbach.
- 29 Palaeaster eucharis pag. 71, Hamilton Group, Copie: *r* Rücken, *x* vergrößerte Fühlergänge.
- 30 Palaeaster cf. eucharis pag. 72, Grauwacke, Lahnstein, Gypsmodell.
- 31 Asterias Rhenana pag. 72, Grauwacke, Kemmenau, Copie: *M*, *m* Mundseite, *r* Rücken.
- 32 Palaeaster Niagarensis pag. 73, Mittleres Uebergangsgelände, Lockport, Copie: *x* vergrößerte Randplatten.
- 33 desgleichen pag. 73, daher, Copie: Mundseite der Armspitze.
- 34 Palasterina stellata pag. 74, Trentonlimestone, City of Ottawa, stark vergrößert, Copie.
- 35 Palasterina primaeva pag. 74, Ludlow rock, Underbarrow, Copie.
- 36 Protaster Miltoni pag. 75, Ludlow rock, Leintwardine, *x*, *y* vergrößerte Stücke.
- 37 Idealer Querschnitt der Arme von Ophiura pag. 75.
- 38 Idealer Querschnitt der Arme von Asterias pag. 75.
- 39 Aspidosoma Tischbeinianum pag. 76, Devonischer Thonschiefer, Bundenbach; *R* Rücken, *m* Bauchseite, *x* Rücken- und *y* Bauchseite der Arme vergrößert, *M* Madreporenplatte, *a* und *b* Randaussicht.
- 40 Aspidosoma Arnoldii pag. 77, Grauwacke, Wimmingen, Copie: vergrößerte Stücke.
- 41 Aspidosoma cf. Arnoldii pag. 77, Grauwacke, Lahnstein, Gypsabguss, *x* vergrößertes Armstück.
- 42 Asterias spinosissima pag. 81, Thonschiefer, Bundenbach, Copie.
- 43 Palaeocoma Marstoni pag. 81, Ludlow rock, Leintwardine, Copie: *x* ideales Bild.

Erklärung tab. 93.

- Fig. 1 Asterias lumbricalis pag. 82, Unterer Lias α , Neindorf.
— 2 Asterias lanceolata pag. 84, daher, die kleinen lumbricalis.
3 Asterias lumbricalis pag. 84, daher.
4 desgleichen pag. 84, daher, Abdrücke.
5 Asterias rubens pag. 85, Nordsee, $\frac{1}{3}$ natürlicher Grösse.
6 Euryale? liasica pag. 86, Lias α , Nürtingen.
7 desgleichen pag. 86, Lias α , Wangen.
8 Ophiura? pag. 86, Lias α , Hochberg.
9 Asterias annulata pag. 87, daher, verschiedene Stücke.
10 Asterias pag. 87, daher, erhabene Zöpfe, vertiefter Stern.
— 11 Asterias lumbricalis pag. 87, Angulatensandstein Lias α , Dewangen.
-- 12 desgleichen pag. 87, daher, grosse Exemplare, s S Fährten.
- 13 desgleichen pag. 88, daher.
14 Asterias lumbricalis pag. 88, Angulatensandstein, Hüttlingen.
-- 15 Asterias pag. 88, verschiedene Abgüsse, daher.
16 Asterias pag. 89, daher, nach der Grösse geordnet.
17 Asterias cf. lumbricalis pag. 90, daher.
18 Asterias pag. 90, daher, vierarmige Missbildung.
19 Asterias pag. 90, daher.
20 Asterias pag. 90, daher.
21 Asterias lumbricalis pag. 90, Eisenerz Brauner Jura β , Aalen.
22 Asterias pag. 91, Gelber Sandstein des Braunen Jura β , Heiningen.
23 Zöpfe pag. 91, Sandstein des Lias α , Hüttlingen, sechs Zöpfe übereinander.
24 Zöpfe pag. 92, Sandstein des Braunen Jura β , Boll.
25 Cidaritenstacheln pag. 92, daher, Hinterseite von fig. 24.
26 Palaeodiscus ferox pag. 93, Ludlow rock, Leintwardine, Mundseite, Copie.
27 Asterias antiqua pag. 93, Mittleres Uebergangsgebirge, Gothland, Copie.
28 Asterias quinquefolia pag. 94, Sandstein des Braunen Jura β , Heiningen, $\frac{3}{5}$ natürlicher Grösse.
29 Uraster Graveyi pag. 85, Mittlerer Lias, Gloucestershire, Copie.
30 Solaster papposus pag. 95, Mittelmeer, Mundseite.
- 31 Plumaster ophiuroides pag. 95, Mittlerer Lias, Yorkshire, Copie.
- 32 Helianthaster Rhenanus, pag. 96, Uebergangsthonschiefer, Bundenbach, Copie.
- 33 Solaster Moretonis pag. 96, Great Oolite, Gloucestershire, verkleinerte Copie.
-



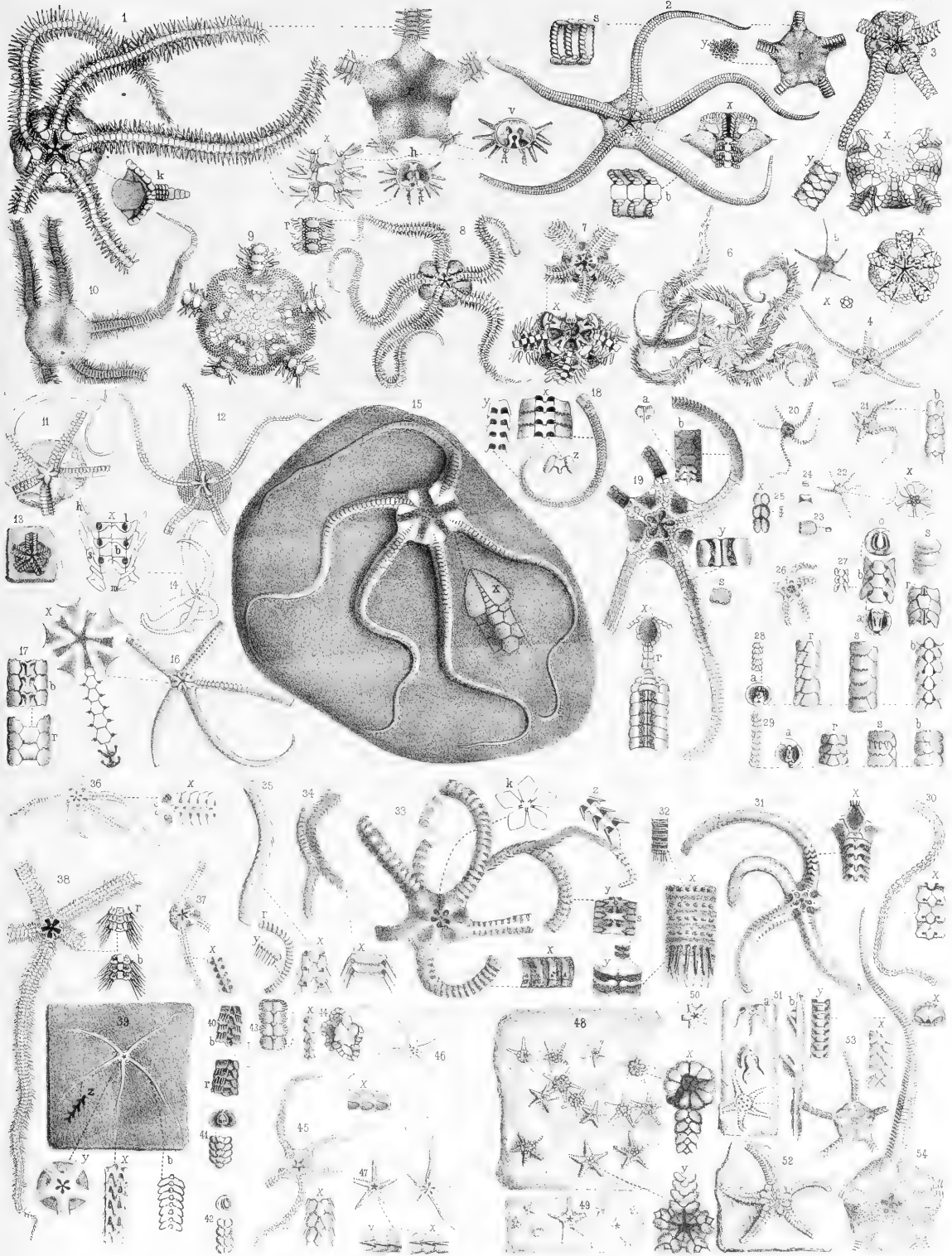


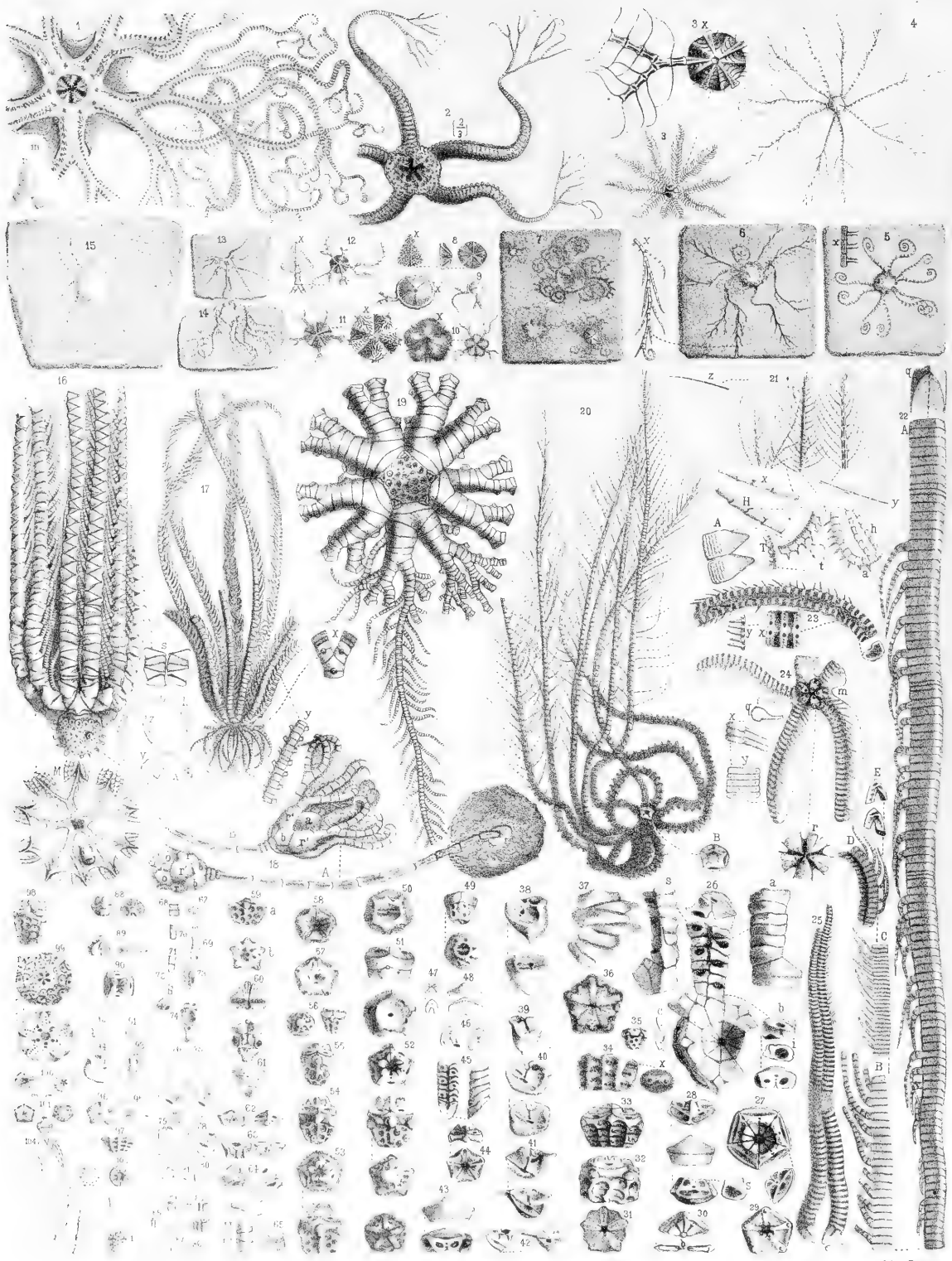
Erklärung tab. 94.

- Fig. 1 *Oreaster armatus* pag. 98, Californien, s Stachel, *a* Adambulacra.
 — 2 *Oreaster Boysii* pag. 99, Upper Chalk, Kent, Copie.
 — 3 *Oreaster* pag. 99, daher, Copie.
 — 4 *Oreaster pisifilliferus* pag. 99, daher, Copie.
 — 5 *Oreaster ocellatus* pag. 99, Upper Chalk, Sussex, Copie.
 — 6 *Oreaster* pag. 99, daher, Copie.
 — 7 *Oreaster simplex* pag. 100, unterer Pläner, Plauen, Copie.
 — 8 *Oreaster decoratus* pag. 100, daher, Copie.
 — 9 *Oreaster thoracifer* pag. 100, daher, Copie.
 — 10 *Oreaster circulatus* pag. 100, Pläner, Helnstein.
 — 11 *Oreaster?* pag. 101, Stachel, Néocom, Neuchatel.
 — 12 *Asterias scutata* pag. 101, Weisser Jura ε , Oerlinger Thal, Haufwerk.
 — 13 desgleichen pag. 102, daher, Haufen grubiger Platten.
 — 14 desgleichen pag. 102, daher, Einzelplatte.
 — 15 desgleichen pag. 102, Weisser Jura ε , Steinweiler.
 — 16 desgleichen pag. 102, Weisser Jura ε , Oerlinger Thal, Adambulakrum.
 — 17—22 desgleichen pag. 103, daher, verschiedene Platten.
 — 23 desgleichen pag. 103, daher, ausgeschweifte Platte.
 — 24—36 desgleichen pag. 103, daher, verschiedene grössere Platten.
 — 37 u. 38 desgleichen pag. 103, daher, kleinere Platten.
 — 39 u. 40 Kappen pag. 105, daher, zweifelhaft.
 — 41—46 desgleichen pag. 105, daher, Stacheln.
 — 47 *Cidaritenstachel* pag. 106, Weisser Jura ε , Nattheim.
 — 48—50 *Asterias scutata* pag. 106, daher.
 — 51 Assel pag. 106, daher, problematisch.
 — 52 u. 53 *Asterias scutata* pag. 106, Weisser Jura γ , Bosler, *a* Stachel.
 — 54 Assel pag. 107, Weisser Jura ε , Oerlinger Thal, problematisch.
 — 55 *Sphaerites punctatus* pag. 107, Weisser Jura α , von zwei Seiten o und u.
 — 56 desgleichen pag. 109, Weisser Jura γ , Hossingen, *a* *Aptychus*.
 — 57—70 desgleichen pag. 109, Weisser Jura α , Lochen etc.
 — 71 Stachelassel pag. 110, Lochen.
 — 72 u. 73 Asseln pag. 110, Lochen.
 — 74—98 *Asterias tabulata* pag. 110, Weisser Jura α , Lochen etc.
 — 99—104 *Asterias annulosa* pag. 112, Weisser Jura α , Lochen etc.
 — 105—110 *Asterias pustulata* pag. 113, Weisser Jura ε , Nattheim und Oerlinger Thal.
 — 111—114 desgleichen pag. 113, Weisser Jura ε , Nattheim.
 — 114. *a* *Asterias stellifera* pag. 114, Weisser Jura ε , Oerlinger Thal.
 — 115—121 *Asterias stellifera* pag. 114, Weisser Jura ε , Nattheim Sirchingen.
 — 122—142 *Asterias digitata* pag. 115, Weisser Jura ε , Oerlinger Thal.
 — 143 u. 144 *Asterias* pag. 117, daher.
 — 145 *Asterias digitata* pag. 117, Weisser Jura ε , Bitz.
 — 146—151 *Sphaeraster juvenis* pag. 119, Weisser Jura α , Lochen, 8seitige Tafeln.
 — 152 desgleichen pag. 119, daher, 8seitige Tafel mit Loch.
 — 153—159 desgleichen pag. 120, daher, 7seitige Tafeln mit Loch.
 — 160—166 desgleichen pag. 121, daher, 7seitige Tafeln.
 — 167—173 desgleichen pag. 121, daher, 6seitige Tafeln.
 — 174—181 desgleichen pag. 122, daher, breite 6seitige Tafeln.
 — 182—188 desgleichen pag. 122, daher, 5seitige Tafeln.
 — 189 desgleichen pag. 123, daher, 5seitige Tafel von innen.
 — 190—194 desgleichen pag. 123, daher, 5seitige Afterplatten.
 — 195 desgleichen pag. 124, daher, Zusammenstellung.
 — 196—201 desgleichen pag. 124, daher, verschiedene Tafeln.
 — 202 u. 203 desgleichen pag. 125, Weisser Jura α , Benzenzimmern.
 — 204 u. 205 desgleichen pag. 125, Weisser Jura ε , Oerlinger Thal.

Erklärung tab. 95.

- Fig. 1 *Ophiocoma scolopendrina crassispina* pag. 130, Barbadoes: *k* Kiefer, *r* Rücken, *x* Bauchseite, *v* vordere, *h* hintere Querscheidewand.
- 2 *Ophioderma brevicauda* pag. 128, Barbadoes: *b* vergrößerte Bauchseite, *x* zwei Kiefer; *r* Rücken, *y* vergrößerte Knötchen.
- 3 *Ophioplepis lacertosa* pag. 129, Norwegen: *x* Rücken vergrößert, *y* Arm von unten vergrößert.
- 4 *Ophioplepis albida* pag. 130, Norwegen, *x* vergrößerte Mundseite.
- 5 *Ophiura squamata* pag. 130, Norwegen, *x* vergrößerte Centralschuppe.
- 6 *Ophiothrix fragilis* pag. 131, Rückenseite, Norwegen.
- 7 desgleichen pag. 131, daher, Mundseite, *x* Mund vergrößert.
- 8 *Ophiopholis scolopendrica* pag. 131, Nordsee, *r* vergrößerte Rückenschienen.
- 9 desgleichen pag. 131, daher, vergrößerte Rückenseite der Scheibe.
- 10 *Ophiocoma nigra* pag. 131, Nordsee, vom Rücken.
- 11 *Protaster Sedgwickii* pag. 133, Balakalkstein, Copie.
- 12 *Protaster leptosoma* pag. 133, Lower Ludlowrock, Leintwardine, Copie.
- 13 *Protaster Forbesi* pag. 134, Helderberg Rocks, Litchfield, Copie.
- 14 desgleichen pag. 134, daher, Copie, *x* vergrößertes Armstück.
- 15 *Ophiura Egertoni* pag. 134, Mittlerer Lias, Bridport, vom Rücken.
- 16 desgleichen pag. 134, daher, von der Bauchseite.
- 17 *Ophiura Gaveyi* pag. 135, Unterer Lias, Gloucester Shire.
- 18 *Ophiura Egertoni* pag. 136, Mittlerer Lias, Bridport.
- 19 *Ophiura ventrocarinata* pag. 136, Unterer Lias α , Hüttlingen, wahrscheinlich Rücken.
- 20 *Ophioderma Escheri* pag. 137, Lias α , Schambelen.
- 21 desgleichen pag. 137, daher, Mundseite, *b* Armstück vergrößert.
- 22 desgleichen pag. 138, daher, Rückenseite, *x* vergrößerte Scheibe.
- 23 desgleichen pag. 137, daher, Seitenschiene von innen.
- 24 desgleichen pag. 137, daher, Seitenschiene von aussen.
- 25 desgleichen pag. 138, daher, Rücken eines Armstücks.
- 26 *Ophiura olifex* pag. 138, Oelschiefer des Lias α , Dusslingen.
- 27 *Ophiura* cf. *Egertoni* pag. 138, Leptaenenbed Lias δ , Hechingen.
- 28 *Ophiura spongiosa* α pag. 139, Weisser Jura α , Lochen: *r* Armstück, *r* Rücken, *s* Seite, *b* Bauch.
- 29 *Ophiura spongiosa* ε pag. 140, Weisser Jura ε , Oerlinger Thal.
- 30 *Ophiura* cf. *spongiosa* pag. 140, Weisser Jura ζ , Blaubeuren.
- 31 *Ophiura* pag. 140, daher.
- 32 *Ophiura annulata* pag. 141, Weisser Jura ε , Hochsträss.
- 33 *Ophiura annulata* pag. 140, Weisser Jura ζ , Blaubeuren.
- 34 desgleichen pag. 142, daher.
- 35 desgleichen pag. 142, daher.
- 36 *Ophiura planata* pag. 142, Weisser Jura ζ , Hochsträss.
- 37 desgleichen pag. 142, daher.
- 38 *Ophiura speciosa* pag. 143, Weisser Jura ζ , Solnhofen, Copie.
- 39 *Ophiura carinata* pag. 143, Weisser Jura ζ , Eichstedt.
- 40 *Ophiura serrata* pag. 144, Kreide, Hannover, Copie, *r* Rücken, *b* Bauch.
- 41 *Ophiura granulosa* pag. 144, Kreide, Rügen, Copie.
- 42 *Ophiura subcylindrica* pag. 145, daher, Copie.
- 43 *Ophiura granulosa* pag. 145, Kreide, Lindnerberg, Copie.
- 44 *Ophiura Fürstenbergii* pag. 145, Grünsand, Vaels, Copie.
- 45 *Ophiura Wetherelli* pag. 145, Londonthon, England, Copie.
- 46 *Ophiura Libanotica* pag. 146, Tertiär, Libanon, Copie.
- 47 *Ophiura elegans* pag. 146, daher, Copie.
- 48 *Ophiura scutellata* pag. 146, Muschelkalk, Wachbach, *y* Mund, *x* Rücken.
- 49 desgleichen pag. 148, Muschelkalk, Neckarweihingen, abgewittert.
- 50 desgleichen pag. 147, Muschelkalk, Horb.
- 51 desgleichen pag. 148, Muschelkalk, Canstatt, Steinkerne.
- 52 *Ophiura Ludeni* pag. 149, Wellenkalk, Jena, Copie.
- 53 *Ophiura squamosa* pag. 149, Muschelkalk, Schlotheim.
- 54 *Ophiura Hauchecorni* pag. 150, Schaunkalk Rüdersdorf.



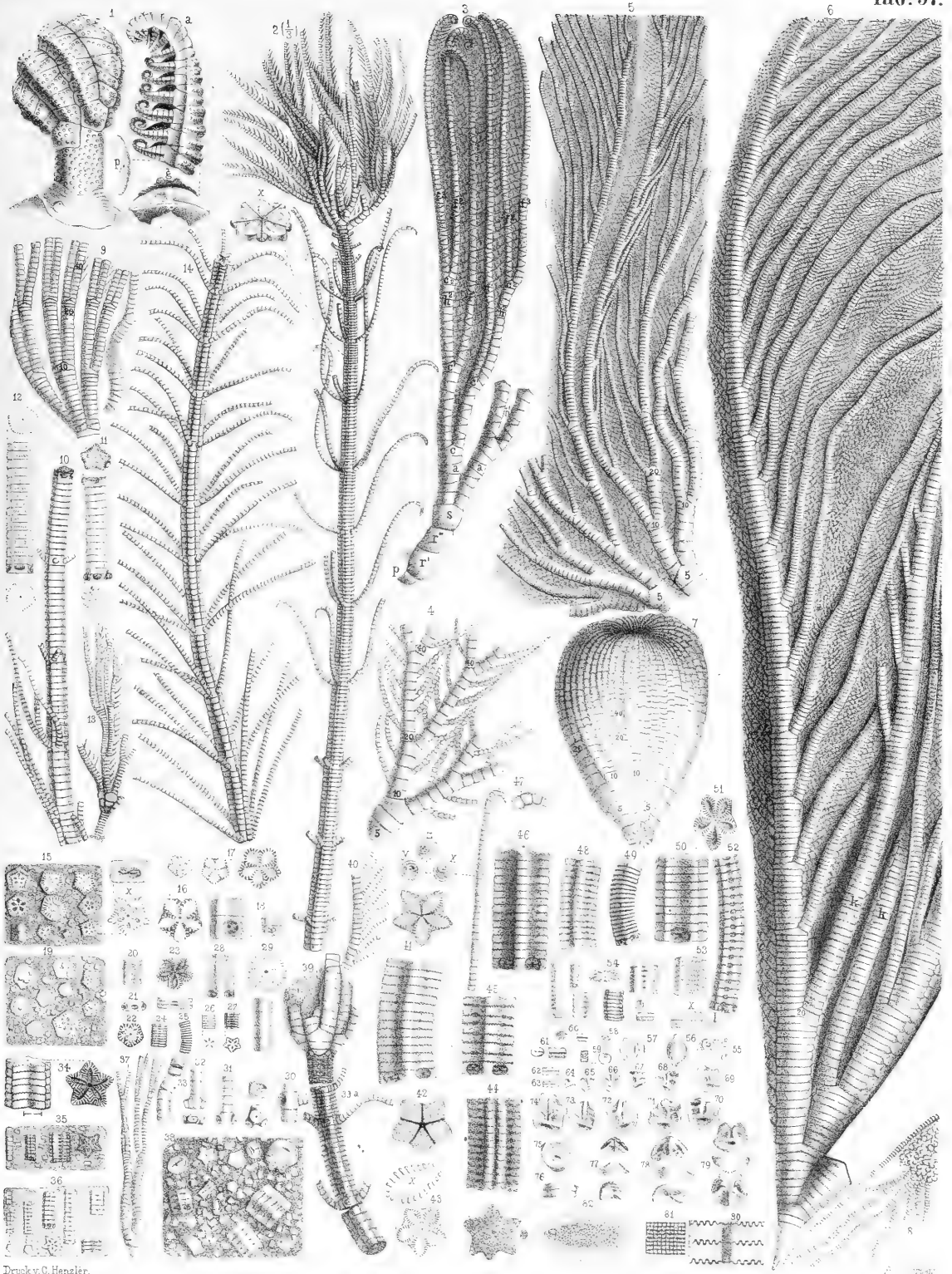


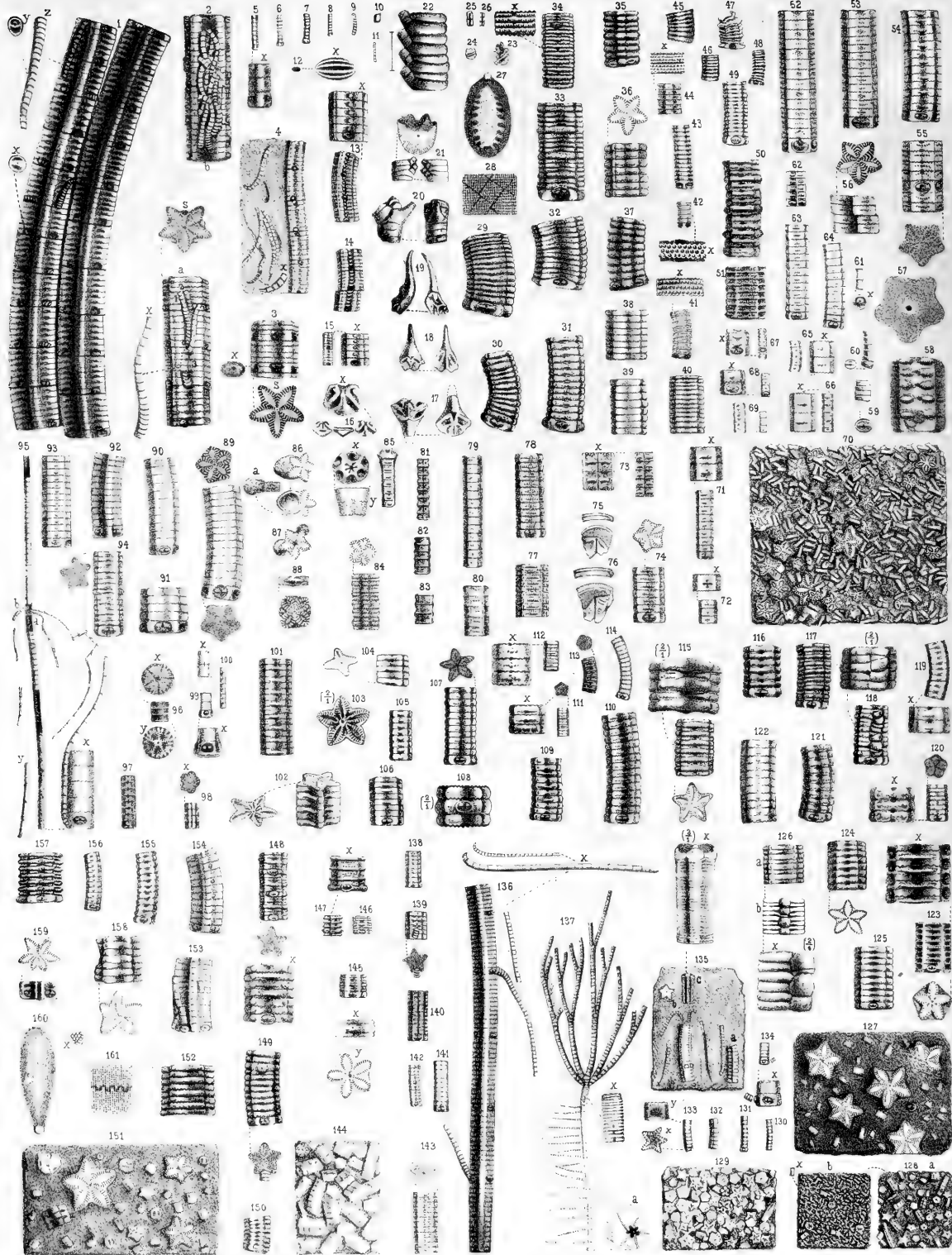
Erklärung tab. 96.

- Fig. 1 Euryale cf. Mediterranea pag. 152, lebend, Mundseite, *m* Madreporenplatte, *r* Rückenseite.
 — 2 Euryale (Trichaster) palmiferum pag. 152, lebend, Copie in $\frac{2}{3}$ natürlicher Grösse.
 — 3 Saccocoma tenella pag. 154, Solnhofer Schiefer, Copie nach Goldfuss.
 — 4 Saccocoma pectinata pag. 155, daher, desgleichen.
 — 5 desgleichen pag. 155, daher, α vergrösserte Armglieder.
 — 6 desgleichen pag. 156, daher, α vergrösserter Arm.
 — 7 desgleichen pag. 156, Solnhofer Schiefer, Eichstedt.
 — 8 desgleichen pag. 156, daher, α vergrösserter Sector.
 — 9 Saccocoma cf. tenella pag. 157, Solnhofen.
 — 10 Saccocoma pectinata pag. 157, daher, Mundseite.
 — 11 desgleichen pag. 157, daher, Abdruck der Mundseite.
 — 12 desgleichen pag. 157, Solnhofer Schiefer, Eichstedt, α vergrösserter Sector.
 — 13 Saccocoma cf. tenella pag. 157, daher.
 — 14 Saccocoma pag. 158, daher.
 — 15 Saccocoma pectinata pag. 158, daher, roh mit Kalkspath überzogen.
 — 16 Comatula Eschrichtii pag. 165, lebt in Gröuland, *s* Syzygium, $\alpha y z$ vergrösserte Theile des Hilfsarmes, *M* Mundseite mit Afterschlauch.
 — 17 Comatula mediterranea pag. 164, Mittelmeer, α Gabelung der Arme mit dunkelgehaltene Syzygium.
 — 18 Antedon rosaceus pag. 165, Nordsee, Copie: *b* Basalia, *r'* erste Radialia, *o* Mundplatten, *a* Analplatte.
 — 19 Comatula multiradiata pag. 165, Copie.
 — 20 Comatula pinnata pag. 167, Weisser Jura ζ , Solnhofen: *B* Becken vergrössert.
 — 21 desgleichen pag. 168, daher: *a* *A* Arme, *h* *H* Hilfsarme, *t* *T* Nebenfäden, αy Pinnulae.
 — 22 Comatula longimana pag. 169, Weisser Jura ζ , Hochsträss. Vergleiche Apiocrinus mespiliformis.
 — 23 Ophiurites crinitus pag. 170, Weisser Jura ζ , Steinenfeld.
 — 24 desgleichen pag. 170, daher: *m* Mundseite, *r* Rücken; α und y Seiten.
 — 25 desgleichen pag. 171, daher, vom Rücken.
 — 26 Solanocrinus costatus pag. 172, Weisser Jura ε , Nattheim, *a* *s* Arm, *b* erstes Armglied.
 — 27 desgleichen pag. 174, daher, erste Kelchradiale.
 — 28 desgleichen pag. 174, daher, 2tes und 3tes Kelchradial.
 — 29 desgleichen pag. 174, daher, Basalbeine.
 — 30 desgleichen pag. 173, daher, Durchschnitt der Säule.
 — 31 desgleichen pag. 173, daher, obere Gelenkfläche der Säule.
 — 32 desgleichen pag. 173, daher, Säule mit Basilar und Kelchradial.
 — 33 desgleichen pag. 173, daher.
 — 34 desgleichen pag. 173, Weisser Jura ε , Schnaitheim, Säule.
 — 35 desgleichen pag. 175, Weisser Jura ε , Nattheim, jung.
 — 36 desgleichen pag. 173, daher, Stiel von der Unterseite.
 — 37 desgleichen pag. 175, daher, Armglieder.
 — 38—42 desgleichen pag. 175, daher, einzelne Armglieder.
 — 43 desgleichen pag. 175, Weisser Jura ε , Oerlinger Thal, Doppelgelenk.
 — 44 desgleichen pag. 176, daher, Stielgelenk mit Basalen.
 — 45 desgleichen pag. 176, daher, zusammenhängende Armglieder.
 — 46 u. 47 desgleichen pag. 176, Weisser Jura ε , Schnaitheim Armglieder.
 — 48 desgleichen pag. 176, daher, isolirtes Doppelgelenk.
 — 49 Comatula sigillata pag. 176, daher.
 — 50 desgleichen pag. 177, Weisser Jura ε , Nattheim, Stiel von unten.
 — 51 Solanocrinus Jaegeri pag. 177, daher.
 — 52 Solanocrinus scrobiculatus pag. 177, Weisser Jura α , Lochen.
 — 53—56 desgleichen pag. 178, daher, verschiedener Grösse.
 — 57 u. 58 desgleichen pag. 179, daher, Basen des Kelches.
 — 59 desgleichen pag. 179, daher, Säule.
 — 60 desgleichen pag. 179, daher, durchgebrochenes Kelchstück.
 — 61 desgleichen pag. 179, daher, drei Kelchradiale.
 — 62 desgleichen pag. 179, daher, Doppelgelenk.
 — 63 desgleichen pag. 180, daher, zweites Kelchradial.
 — 64—68 desgleichen pag. 180, daher, Armglieder.
 — 69—72 desgleichen pag. 181, daher, Hilfsarmglieder.
 — 73 u. 74 desgleichen pag. 181, daher, kranke Hilfsarmglieder.
 — 75 u. 76 Schlanke Glieder pag. 181, daher.
 — 77—87 Solanocrinus asper pag. 182, daher, Gliederstücke.
 — 88 desgleichen pag. 183, daher, Kelch.
 — 89 desgleichen pag. 183, Weisser Jura α , Birmensdorf, drittes Kelchradial.
 — 90 desgleichen pag. 183, Weisser Jura α , Lochen, vierseitig.
 — 91—97 Solanocrinus Bronnii pag. 181, Mittlerer Weisser Jura, Lützel.
 — 98 Comaster Retzii pag. 183, Grünsand Köpinge, Copie.
 — 99 Glenotremites paradoxus pag. 183, Kreidemergel, Spelldorf, Copie.
 — 100 Glenotremites rosaceus pag. 184, Unterer Pläner, Plauen, Copie.
 — 101 Hertha mystica pag. 184, Kreide, Rügen, Copie.
 — 102 Comatula Brownii pag. 185, Coralline Crag, Sutton.
 — 103 Alecto alticeps pag. 185, Jungtertiär, Palermo, Copie.
 — 104 Comaturrella Wagneri pag. 185, Solnhofer Schiefer, Copie.

Erklärung tab. 97.

- Fig. 1 Holopus Rangii pag. 185, Meer von Martinique, Copie.
 — 2 Pentacrinus caput Medusae pag. 189, Antillenmeer, Copie (1/3 natürlicher Grösse).
 — 3 desgleichen pag. 189, Copie eines Strahles nach Müller: *p* pelvis, *r* *r'* Rippen, *s* scapula
a Arm, *h*¹ *h*² Hände, *f*¹ *f*² Finger.
 — 4 desgleichen pag. 190, Strahl copirt von J. Müller.
 — 5 Pentacrinus Briareus pag. 192, Unterer Lias, von Charmouth, Copie,
 — 6 Pentacrinus subangularis pag. 192, Lias α , Ohmden, ein Strahl, *h**k* kleine Arme.
 — 7 Pentacrinus tuberculatus pag. 193, Lias α , Pyrton Passage, Copie.
 — 8 Pentacrinus subangularis pag. 195, Hilfsarme hart unter der Krone am Stiele sitzend.
 — 9 Pentacrinus Sigmaringensis pag. 193, Weisser Jura α ζ , Sotzenhausen, Kronenstück.
 — 10 desgleichen pag. 193, daher, Säule mit Hilfsarmen.
 — 11 u. 12 desgleichen pag. 193, Weisser Jura α ζ , Nollhaus.
 — 13 Pentacrinus Fisheri pag. 193, Oxfordclay, Weymouth.
 — 14 Pentacrinus dubius pag. 197, Muschelkalk, Waltershausen.
 — 15 desgleichen pag. 198, Wellenkalk, Deubach.
 — 16 desgleichen pag. 198, Muschelkalk, Sachsenburg.
 — 17 u. 18 desgleichen pag. 199, Muschelkalk, Recoaro.
 — 19 desgleichen pag. 198, Wellenkalk, Rüdersdorf.
 — 20—22 desgleichen pag. 199, Muschelkalk, Beuthen.
 — 23—28 Pentacrinus propinquus pag. 199, Obere Trias, St. Cassian.
 — 29—33 Pentacrinus laevigatus pag. 200, daher.
 — 34 Pentacrinus priscus pag. 200, Devonischer Kalk, Eifel, Copie.
 — 35 Pentacrinus psilonoti pag. 205, Lias α , Tübingen.
 — 36 Pentacrinus angulati pag. 205, Lias α , Göppingen.
 — 37 desgleichen pag. 205, Lias α , Hüttlingen, ein copirter Strahl.
 — 38 Pentacrinus tuberculatus pag. 201, Lias α , Bebenhausen, Stück aus einer Bank.
 — 39 desgleichen pag. 205, Lias α , Vaihingen, Krone und *a* Säule.
 — 40 desgleichen pag. 206, daher, Armstück.
 — 41 desgleichen pag. 202, daher, dicker Entrochit.
 — 42 desgleichen pag. 202, daher, angeschliffen mit 5 Kanälen.
 — 43 desgleichen pag. 202, Lias α , Dusslingen, gekerbtes Blatt.
 — 44 desgleichen pag. 203, daher, sechsseitig.
 — 45 u. 46 desgleichen pag. 202, daher.
 — 47 desgleichen pag. 206, Lias α , Vaihingen, Hilfsarme, *x y z* vergrößerte Glieder.
 — 48 desgleichen pag. 203, Lias α , Bebenhausen.
 — 49 u. 50 desgleichen pag. 204, Lias α , Adelhausen.
 — 51 desgleichen pag. 203, Lias α , verdrückt.
 — 52 desgleichen pag. 203, Lias α , Dusslingen, mit Schwefelkiesharnisch.
 — 53 desgleichen pag. 203, Lias α , Bebenhausen.
 — 54 desgleichen pag. 204, Lias α , Eberbach.
 — 55 desgleichen pag. 207, Lias α , Bebenhausen, Hilfsarmglied.
 — 56 desgleichen pag. 207, Lias α , kranke Hilfsarmglieder.
 — 57—59 desgleichen pag. 207, Lias α , Hilfsarmglieder.
 — 60—63 desgleichen pag. 207, Lias α , Tentakelglieder.
 — 64—74 desgleichen pag. 208, Lias α , Bebenhausen, Armglieder.
 — 75 desgleichen pag. 208, daher, Armglied mit Syzygalnaht.
 — 76 desgleichen pag. 209, daher, zwei Armgelenke mit Syzygalnaht.
 — 77 u. 78 desgleichen pag. 209, daher, Doppelgelenke (Axillaria).
 — 79 desgleichen pag. 209, daher, unterstes Kelchradial.
 — 80 desgleichen pag. 209, Längsschnitt eines Trochiten.
 — 81 desgleichen pag. 209, mikroskopische Gittertextur im Längsschnitt.
 — 82 desgleichen pag. 209, mikroskopischer Querschnitt eines Trochitenblattes.



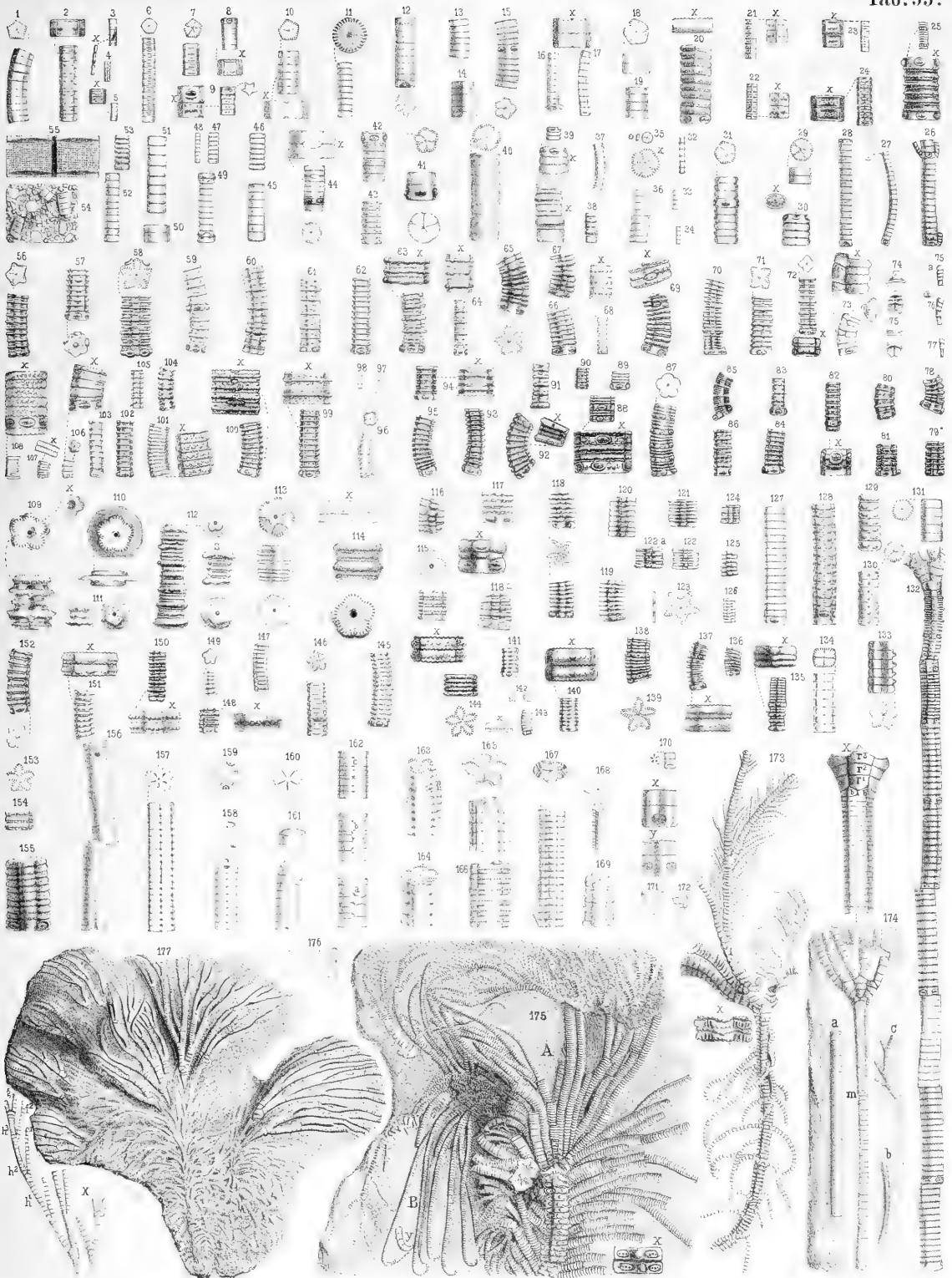


Erklärung tab. 98.

- Fig. 1 Pentacrinus scalaris pag. 209, Lias β oben, Breitenbach.
 — 2 desgleichen pag. 211, daher, vier sechsgliedrige Entrochiten, s Syzygialnahtfläche.
 — 3 desgleichen pag. 212, Lias β , Wellendingen, Syzygialnaht über der Gelenknarbe.
 — 4 u. 5 desgleichen pag. 212, Lias β , Dürnau, α Krallenglied.
 — 6—9 desgleichen pag. 213, Lias β , Grosseßlingen, Brut.
 — 10 u. 11 desgleichen pag. 213, daher, Hilfsarme.
 — 12 Epizoen pag. 213, daher,
 — 13—15 Pentacrinus scalaris pag. 213, Lias β , Ofterdingen, Brut.
 — 16 desgleichen pag. 214, Lias β , Grosseßlingen, unterstes Kelchradial.
 — 17 desgleichen pag. 214, Lias β , Balingen, Doppelgelenk.
 — 18—21 desgleichen pag. 214, Lias β , Breitenbach.
 — 22 desgleichen pag. 215, daher, vergrössertes Armstück.
 — 23—26 desgleichen pag. 215, Lias β , Grosseßlingen.
 — 27 u. 28 desgleichen pag. 215, daher, vergrösserte Quer- und Längsschnitte.
 — 29 u. 30 Pentacrinus moniliferus pag. 215, Lias β , Ofterdingen.
 — 31 desgleichen pag. 216, Lias β , Grosseßlingen.
 — 32—34 desgleichen pag. 216, Lias β , Grosseßlingen.
 — 35 u. 36 Pentacrinus perlatus pag. 217, Lias β , Balingen etc.
 — 37 desgleichen pag. 217, Lias, Mende.
 — 38—40 Pentacrinus cf. perlatus pag. 217, Lias β .
 — 41—44 Pentacrinus punctiferus pag. 218, Lias γ , Hinterweiler etc.
 — 45 u. 46 Pentacrinus cf. punctiferus pag. 218, Lias γ , daher.
 — 47—49 Pentacrinus margopunctus pag. 219, Lias γ , daher.
 — 50 u. 51 Pentacrinus cf. margopunctus pag. 219, daher.
 — 52—56 Pentacrinus basaltiformis pag. 220, Lias δ , unten, Geislingen etc.
 — 57 u. 58 desgleichen pag. 221, Lias δ , durch Kies entsteht.
 — 59—61 desgleichen pag. 221, daher, Hilfsarmstücke.
 — 62—69 desgleichen pag. 222, daher, junge Exemplare.
 — 70 desgleichen pag. 222, Mittlerer Lias, Cheltenham.
 — 71 u. 72 desgleichen pag. 223, Numismalibänke γ , Hechingen.
 — 73—76 desgleichen pag. 223, Lias δ , Dormettingen etc.
 — 77 u. 78 P. basaltiformis margopunctus pag. 224, daher.
 — 79—83 P. basaltiformis subrotundus pag. 224, daher etc.
 — 84 u. 85 Pentacrinus basaltiformis pag. 225, daher etc.
 — 86 u. 87 Pentacrinus basaltiformis pag. 225, daher etc., krank.
 — 88 desgleichen pag. 225, vierseitiges Glied, Mittlerer Lias.
 — 89 P. basaltiformis nudus pag. 226, Leptaenenbed Lias δ , Hechingen.
 — 90 u. 91 desgleichen pag. 226, Lias δ , Göttingen.
 — 92—94 desgleichen pag. 227, oberer Lias, Mende.
 — 95 Pentacrinus subteroides pag. 227, Lias δ , Wasseralfingen.
 — 96—100 desgleichen pag. 228, Lias δ , Breitenbach etc.
 — 101 Pentacrinus jurensis pag. 228, Lias ζ , Rosswangen.
 — 102—104 desgleichen pag. 229, Lias ζ , Schömberg.
 — 105 u. 106 desgleichen pag. 229, Lias ζ , Rosswangen.
 — 107—114 desgleichen pag. 230, Lias ζ , Dörlbach.
 — 115—122 desgleichen pag. 231, Aalensisschicht des Lias ζ , Heiningen.
 — 123—126 desgleichen pag. 233, Lias ζ , Fontaine-Etoupefour.
 — 127 desgleichen pag. 233, Lias ζ , Holzmaden, Bank.
 — 128 Pentacrinus pentagonalis opalinus pag. 234, Brauner Jura α , Gammelshausen.
 — 129 desgleichen pag. 235, Brauner Jura α , Teufelsloch.
 — 130—134 desgleichen pag. 235, Brauner Jura α , Schlatt.
 — 135 u. 136 P. pentagonalis ferratus pag. 235, Brauner Jura β , Wasseralfingen.
 — 137 P. pentagonalis personatus pag. 236, Brauner Jura β , Heiminger Wald.
 — 138—144 P. pentagonalis cristagalli pag. 237, Brauner Jura δ , Einingen, Wasseralfingen etc.
 — 145—150 Pentacrinus nodosus pag. 238, Brauner Jura δ , Gosheim, Egg etc.
 — 151—159 P. astralis ornati pag. 240, Brauner Jura ζ , Pfullingen etc.
 — 160 desgleichen pag. 241, daher, vergrößerter Querschliff, α Poren eines Blattes.
 — 161 desgleichen pag. 241, daher, vergrößerter Längsschliff mit Blattzähnen.

Erklärung tab. 99.

- Fig. 1—5 *Pentacrinus pentagonalis* pag. 241, Ornatenthon, Birsthal.
 — 6 u. 7 desgleichen pag. 242, Ornatenthon, Salins.
 — 8 u. 9 desgleichen pag. 242, Ornatenthon, Präsentevillers.
 — 10 u. 11 desgleichen pag. 242, Brauner Jura ϵ , Parkinsonschicht, Achalm.
 — 12 u. 13 desgleichen pag. 242, Brauner Jura ϵ , Macrocephalusschicht, Achalm.
 — 14 u. 15 desgleichen pag. 243, Ornatenthon, Oeschingen.
 — 16 u. 17 desgleichen pag. 243, Weisser Jura ζ , Seeburg.
 — 18 *Pentacrinus cf. pentagonalis* pag. 243, Weisser Jura ϵ , Muggendorf.
 — 19 u. 20 desgleichen pag. 243, daher, Sirchingen.
 — 21—24 *Pent. pentagonalis Fürstenbergensis* pag. 244, Macrocephalusschicht, Gutmadingen.
 — 25 *Pentacrinus cf. cingulatissimus* pag. 244, daher.
 — 26 u. 27 *Pentacrinus subteres* pag. 245, Weisser Jura α , Geislingen, schwarz.
 — 28—31 desgleichen pag. 245, Grenze vom Braunen und Weissen Jura, Lautlingen, gelbweiss.
 — 32—34 desgleichen pag. 246, Ornatenthon, Pfullingen, gelbe Brut.
 — 35 desgleichen pag. 246, Oberer Brauner Jura, Œstochowa, das mittlere ein Hilfsarmglied.
 — 36—39 desgleichen pag. 246, Ornatenthon, Plettenberg.
 — 40—43 desgleichen pag. 247, Weisser Jura α , Lochen etc.
 — 44 desgleichen pag. 247, Weisser Jura α , Birmensdorf.
 — 45—49 desgleichen pag. 247, Weisser Jura α , Reichenbach im Thäle.
 — 50 u. 51 desgleichen pag. 248, Weisser Jura α , Eybach und Pfullingen.
 — 52 u. 53 desgleichen pag. 248, Weisser Jura γ , Spitze des Hohenstaufen.
 — 54 desgleichen pag. 248, Mittlerer Weisser Jura, Schalksburg.
 — 55 desgleichen pag. 249, Weisser Jura, Längsschliff mit Nahrungskanal.
 — 56—70 *Pentacrinus cingulatus* pag. 249, Weisser Jura α , Böllert.
 — 71 u. 72 desgleichen pag. 252, daher, viertheilig.
 — 73 desgleichen pag. 252, daher, verkrüppelt viertheilig.
 — 74 u. 75 desgleichen pag. 252, daher, Kronenglieder.
 — 75 a—77 desgleichen pag. 252, daher, Hilfsarme.
 — 78—86 *P. cingulatus paucitrochus* pag. 253, Weisser Jura α , Hörnle.
 — 87—90 *Pentacrinus cingulatissimus* pag. 253, Weisser Jura α , Birmensdorf.
 — 91 u. 92 *Pentacr. cingulatus γ* pag. 254, Weisser Jura γ , Bosler.
 — 93—98 *Pent. cingulatus multitrochus* pag. 255, Weisser Jura δ , Wiesensteig.
 — 99—105 desgleichen pag. 255, Weisser Jura δ , Kohlstetten.
 — 106—108 *Pent. cingulatus paucitrochus* pag. 256, Weisser Jura γ , Oberlenningen.
 — 109—111 *Pentacrinus cinctus* pag. 256, Weisser Jura α , Lochen.
 — 112 desgleichen pag. 257, Weisser Jura ϵ , Oerlinger Thal.
 — 113 *Pentacrinus cf. cingulatus* pag. 258, Weisser Jura ϵ , Schnaitheim.
 — 114 u. 115 *Millericrinus Nodotianus* pag. 258, Weisser Jura ϵ , Nattheim.
 — 116—118 *Pentacrinus nodosus* pag. 259, Grande Oolite, Ranville.
 — 118 a desgleichen pag. 259, Weisser Jura, Goslar.
 — 119—126 *Pentacrinus astralis* pag. 259, Weisser Jura ϵ , Schnaitheim; 122 a Montecchio maggiore.
 — 127—131 *Pentacrinus Sigmaringensis* pag. 260, Weisser Jura ζ , Nollhaus.
 — 132 *Pentacrinus Sigmaringensis* pag. 261, Weisser Jura ζ , Sotzenhausen bei Blaubenren.
 — 133—137 desgleichen pag. 261, Weisser Jura ζ , Nollhaus.
 — 138—142 *Pentacrinus annulatus* pag. 263, Hilsthon, Elligser Brink.
 — 143 u. 144 desgleichen pag. 264, Hilsthon, Rauthenberg.
 — 145 *Pentacrinus perlatus* pag. 264, daher.
 — 146—150 *Pentacrinus carinatus* pag. 264, Oberer Grünsand, Weddersleben.
 — 151—154 *Pentacrinus Agassizii* pag. 265, Weisse Kreide, Rügen.
 — 155 *Pentacrinus* pag. 265, Kreideformation, Blauer Schnee.
 — 156—162 *Pentacrinus Brounii* pag. 265, Weisse Kreide, Rügen.
 — 163 desgleichen pag. 267, Chalk, England, Copie.
 — 164—166 *Pentacrinus didactylus* pag. 268, Nummulithenkalk, Biarritz, Copie.
 — 167 *Pentacrinus subbasaltiformis* pag. 267, Londonthon, Copie.
 — 168 *Pentacrinus Oakeshottianus* pag. 268, Eocen, Chalk Farm, Copie.
 — 169 *Pentacrinus Sowerbyi* pag. 268, Londonthon, Copie.
 — 170 *Pentacrinus tridactylus* pag. 268, Tertiär, Le Vit.
 — 171 *Pentacrinus cingulatus* Schafhtl. pag. 269, Nummulithenkalk, Kressenberg.
 — 172 *Cainocrinus tintinnabulum* pag. 269, Londonclay, Copie.
 — 173 *Pentacrinus* pag. 267, Chalk, Sussex, Copie.
 — 174 *Pentacrinus* pag. 262, Weisser Jura ζ , Sotzenhausen.
 — 175 *Pentacrinus Briareus Franconicus* pag. 276, Lias ϵ , Ohmden.
 — 176 desgleichen pag. 276, Lias ϵ , Franken, Hilfsarm, Copie.
 — 177 *Pentacrinus Briareus minutus* pag. 279, Lias ϵ , Holzmaden, Brut.

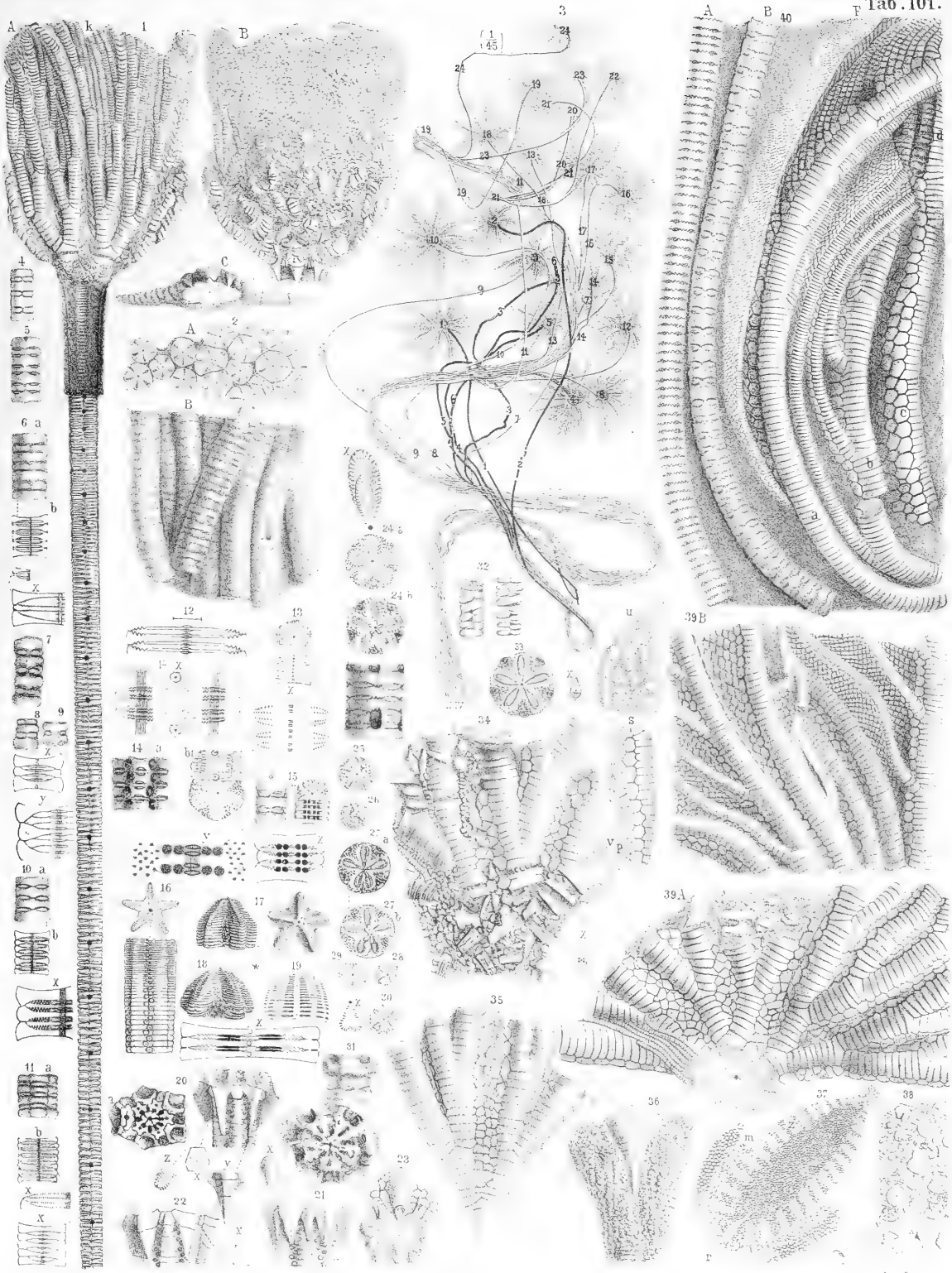


Erklärung tab. 100.

- Fig. 1 *Pentacrinus Briareus Franconicus* pag. 277, Lias ϵ , Heiningen: unten *Q* Querschnitt, *a* Hilfsarme, *b* Säule, *c* kleineres Säulenstück (*x* vergrößert).
- 2 *Pentacrinus Briareus Württembergicus* pag. 274, Lias γ δ , Metzingen, unten liegen Hilfsarme; *h H A B C* Hände; Nro. 1—6 Fingerzahl; Nro. 1 und *F* lange Finger.
- 3 *Pentacrinus Briareus familiaris* pag. 280, Lias ϵ , Holzmaden, $\frac{1}{2}$ natürlicher Grösse, Spuren von 11 Kronen; *A* natürliche Grösse.
- 4 *Pentacrinus Briaroides Goldfussii* pag. 285, Lias ϵ , Tafelfleins, Zell: *E* unteres Säulenende.
- 5 *Pentacrinus Briaroides* pag. 283, unterer Posidonienschiefer, Holzmaden.
- 6 *Pentacrinus Briareus Britannicus* pag. 271, Lias β , Lyme, *a b* zugehörige Säule, *c* Gelenkfläche des Trochiten mit vergrößertem Blatt *x*.
- 7 desgleichen pag. 272, daher, Copie, *A* Hilfsarm.
- 8 *Pentacrinus Briareus* pag. 278, Lias ϵ , Sebastiansweiler.
- 9 *Pentacrinus Briareus Zollerianus* pag. 286, Brauner Jura β .
- 10 *Pentacrinus Briareus Achalmianus* pag. 287, Brauner Jura δ .
-

Erklärung tab. 101.

- Fig. 1 Pentacrinus subangularis pag. 289, Posidonien-schiefer, Holzmaden: *A* Krone mit Stiel; *B* Krone mit der zerrissenen Gegenseite; *C* Querschnitt von unten; *x* Längsschliff der Säule 2fach vergrößert.
- 2 desgleichen pag. 299, Säulenbündel, daher: *A* Querschnitt vom Bündel *B*.
- 3 desgleichen pag. 290, Gruppe von 24 Stück in $\frac{1}{15}$ Grösse aus „Schwabens Medusen-haupt“.
- 4 u. 5 *P. subang. amalthei* pag. 294, Amaltheenthon, Pliensbach.
- 6 desgleichen pag. 294, daher, *b* Längsschliff, *x* vergrößertes Stück. °
- 7 u. 8 desgleichen pag. 295, daher.
- 9 desgleichen pag. 295, daher, *x* 2fach, *y* 4fach vergrößerter Längsschliff.
- 10 u. 11 desgleichen pag. 295, daher.
- 12 desgleichen pag. 295, daher, vierfach vergrößertes Doppelbündel.
- 13 desgleichen pag. 295, daher, Längsschliff reicht nicht bis zum Kanal.
- 14 desgleichen pag. 296, daher, unter der Krone weg mit Hilfsarmnarben.
- 15 desgleichen pag. 296, daher, *y* Doppelbündel stark vergrößert.
- 16—19 desgleichen pag. 297, Lias δ , Hinterweiler, Säulengipfl.
- 20 Pentacrinus Hiemeri pag. 300, Lias ϵ , Pliensbach, Kelchradiale: *x* Basilare, *y* erstes und zweites Kelchradial.
- 21 Pentacrinus acutipelvis pag. 301, Lias γ δ , Hinterweiler, *x* Basilare.
- 22 Pentacrinus subangularis pag. 300, See-grasschiefer Lias ϵ , Holzmaden, *x* Basilare.
- 23 desgleichen pag. 301, daher, Kelchradialstück von unten.
- 24. *a* *b* desgleichen pag. 298, Lias δ , Säulen mit innern Trochiten.
- 25 u. 26 desgleichen pag. 299, Lias δ .
- 27—30 desgleichen pag. 299, Lias δ , Missbildung von Trochiten.
- 31 desgleichen pag. 299, Lias δ , verdickte Säulenglieder.
- 32 desgleichen pag. 299, Lias δ , Spiralglieder.
- 33 desgleichen pag. 300, Lias δ , Säulenstück mit Hilfsarmnarben.
- 34 desgleichen pag. 304, Posidonien-schiefer, Sebastiansweiler: *x* Hilfsarmglieder, *s* Hand von der Seite, *u* Perisoma.
- 35 Pentacrinus colligatus pag. 301, Posidonien-schiefer, Holzmaden.
- 36 Pentacrinus subangularis pag. 300, daher, Kelchradial mit Stiel.
- 37 desgleichen pag. 308, Lias δ , ein vergrößertes Gelenkblatt.
- 38 desgleichen pag. 307, Lias ϵ , Pliensbach, einzelne Kronenglieder.
- 39 desgleichen pag. 305, daher, *A* von unten, *B* ein höher gelegenes Stück.
- 40 desgleichen pag. 306, Lias δ , Heiningen.





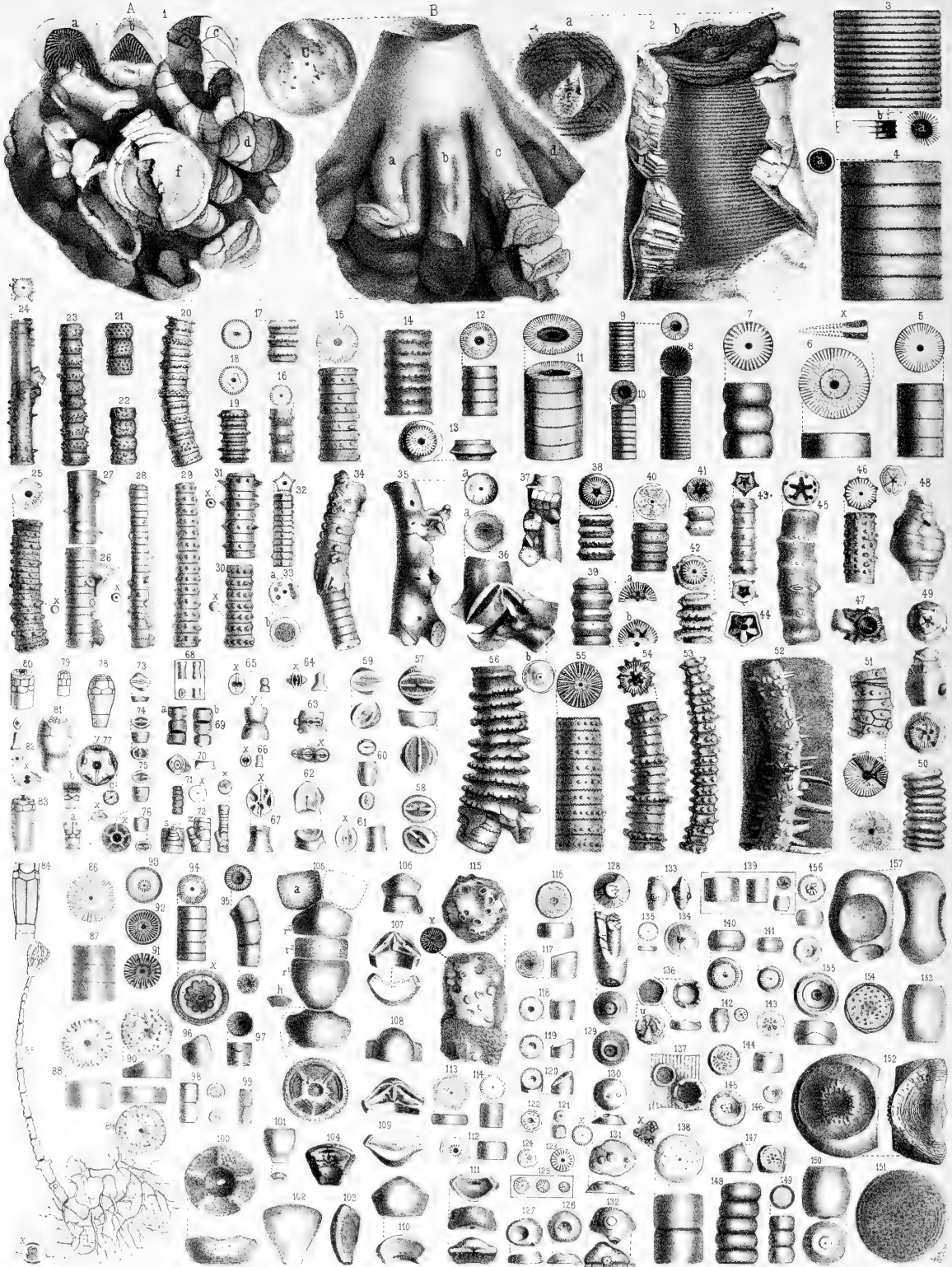
Erklärung tab. 102.

- Fig.
- 1 *Apiocrinus Parkinsonii* pag. 313, Bradfordclay, England: *a* Innenseite, *b* seitlich mit zwei Armen, *c* ein Kelchradial von innen, *x* vergrößertes Basalstück.
 - 2 *Apiocrinus elongatus* pag. 315, Grande Oolite, Ranville.
 - 3 desgleichen pag. 317, daher, zwei concave Trochiten.
 - 4 desgleichen pag. 317, daher, kleineres Kelchstück, *b* Radial von innen.
 - 5 desgleichen pag. 317, daher, Kelch schief von innen.
 - 6 desgleichen pag. 318, daher, verdicktes Säulenende mit Beckenglied *p*.
 - 7 desgleichen pag. 318, Oberer Weisser Jura, Pruntrut.
 - 8 desgleichen pag. 319, Unterer Weisser Jura, Birsthal.
 - 9 desgleichen pag. 319, Portlandien, Pruntrut.
 - 10 desgleichen pag. 319, daher, oberes Säulenglied.
 - 11 Apiocrinitenstiel pag. 320, daher, gedrängt gegliedert.
 - 12 Apiocrinitenstiel pag. 320, daher, *x* Längsschliff.
 - 13 u. 14 desgleichen pag. 320, Unterer Weisser Jura, Birsthal.
 - 15 desgleichen pag. 321, daher, Längsschliff mit blauen Keilen, *x* vergrößerter Trochit.
 - 16 desgleichen pag. 321, daher, Doppelstiel.
 - 17 desgleichen pag. 321, Unterer Weisser Jura, Klein-Lützel.
 - 18 desgleichen pag. 321, daher, *x* vergrößerter Längsschliff.
 - 19 desgleichen, Frankreich pag. 321, dichotomer Stiel.
 - 20 *Apiocrinus rosaceus* pag. 323, Terrain à Chailles, Fringeli, Kelch.
 - 21 desgleichen pag. 323, daher, oberstes Säulenende.
 - 22 desgleichen pag. 323, daher, Kelch von innen.
 - 23 desgleichen pag. 323, daher, Kelch mit Beckengliedern.
 - 24 *Apiocrinus rosaceus* 324, Weisser Jura ϵ , Nattheim.
 - 25 desgleichen pag. 324, daher, cf. polydactylus.
 - 26 desgleichen pag. 325, daher, mit ungleichen Säulengliedern.
 - 27 desgleichen pag. 325, daher, Endstücke der Säule.
 - 28 *Apiocr. ros. Schlotheimii* pag. 325, daher.
 - 29 *Apiocr. ros. Knorrii* pag. 325, Oolith des Weissen Jura ϵ , Schnaitheim.
 - 30 *Apiocr. ros. inaequirochus* pag. 325, Weisser Jura ϵ , Nattheim.
 - 31 *Apiocr. ros. caryophyllum* pag. 325, Weisser Jura ϵ , Oerlinger Thal.
 - 32 u. 33 *Apiocr. ros. calyculus* pag. 326, Weisser Jura ϵ , Nattheim.
 - 34 *Apiocr. ros. Schlotheimii* pag. 326, Weisser Jura ϵ , Oerlinger Thal.
 - 35 desgleichen pag. 326, Weisser Jura ϵ , Nattheim.
 - 36 desgleichen pag. 327, daher, mit langem Stiel.
 - 37 desgleichen pag. 327, daher; *s* seitlich, *o* oben, *u* unten verbrochen.
 - 38 desgleichen pag. 327, daher: *a* innen, *b* aussen.
 - 39 *Apiocrinus mespiliformis* pag. 328, Weisser Jura ϵ , Oerlinger Thal, von unten.
 - 40 desgleichen pag. 328, Weisser Jura ϵ , Nattheim.
 - 41 u. 42 desgleichen pag. 328, Weisser Jura ϵ .
 - 43 desgleichen pag. 329, Weisser Jura ϵ , Nattheim.
 - 44 desgleichen pag. 329, daher, Kelche von unten.
 - 45 u. 46 desgleichen pag. 329, daher, verwitterte Kelche von innen.
 - 47 desgleichen pag. 328, Weisser Jura ϵ , Oerlinger Thal, Beckenglieder von innen.
 - 48 desgleichen pag. 330, Weisser Jura ϵ , Schnaitheim, oberste Säulenglieder.
 - 49 desgleichen pag. 331, Weisser Jura ϵ , Nattheim, oberstes Säulenglied.
 - 50 desgleichen pag. 331, Weisser Jura ϵ , Oerlinger Thal.
 - 51 desgleichen pag. 331, Weisser Jura ϵ , Sirchingen.
 - 52 u. 53 desgleichen pag. 331, Weisser Jura ϵ , Schnaitheim.
 - 54 u. 55 desgleichen pag. 332, Weisser Jura ϵ , Nattheim, Säulenenden.
 - 56 desgleichen pag. 332, daher, zwei letzte Säulenglieder.
 - 57 *Apiocrinus cf. rosaceus* pag. 332, daher, letztes Säulenglied.
 - 58—60 *Apiocrinus Schlotheimii* pag. 332, daher, oberste Säulenenden.

Erklärung tab. 103.

- Fig.
 1 *Apiocrinus mespiliformis* pag. 333, Weisser Jura ϵ , Nattheim: Beckenassel a aussen, i innen.
 2 desgleichen pag. 333, daher, Innenseite.
 3 u. 4 desgleichen pag. 333, daher, y förmige Furche auf der Innenseite.
 5 desgleichen pag. 334, Weisser Jura ϵ , Dietingen.
 6 desgleichen pag. 334, Weisser Jura ϵ , Nattheim.
 7 u. 8 desgleichen pag. 334, daher, schmale und breite Beckenasseln.
 9 *Apiocrinus rosaceus* pag. 334, daher, grosse Beckenassel.
 10—12 desgleichen pag. 334, daher, kleinere Beckenasseln.
 13 *Apiocriniten*assel pag. 334, daher, unsicher.
 14 u. 15 *Apiocr. rosaceus* Schlotheimii pag. 334, daher, erste Radialglieder.
 16 *Apiocrinus mespiliformis* pag. 335, daher.
 17 desgleichen pag. 335, Weisser Jura ϵ , Schnaitheim.
 18 *Apiocrinus* cf. *rosaceus* pag. 335, Weisser Jura ζ , Sotzenhausen: o Ansicht von oben.
 19 *Apiocrinus mespiliformis* pag. 336, Weisser Jura ϵ , Nattheim, erstes und zweites Radial.
 20 desgleichen pag. 336, daher, erstes Radial von oben.
 21 desgleichen pag. 336, daher, erstes und zweites Radial.
 22—25 desgleichen pag. 336, Weisser Jura ϵ , Oerlinger Thal, zweites und drittes Radial.
 26 u. 27 desgleichen pag. 337, daher, zweites Armgelenk.
 28 *Solanoocrinus costatus* pag. 337, Weisser Jura ϵ , Nattheim: zweites und drittes Kelchradial.
 29—35 *Apiocrinus mespiliformis* pag. 337, Weisser Jura ϵ , Oerlinger Thal: Armglieder.
 36 u. 37 desgleichen pag. 338, daher, Armstück mit Pinnulen.
 38 *Apiocrinus platynotus* pag. 338, daher, Kelchradial mit Armen a aussen, i innen.
 39 u. 40 desgleichen pag. 339, daher, Armstücke.
 41—45 *Apiocrinus oxynotus* pag. 339, daher, Armstücke.
 46 u. 47 *Apiocriniten*wurzeln pag. 341, daher.
 48 *Apiocrinus* *Milleri* pag. 341, Weisser Jura ϵ , Nattheim.
 49 desgleichen pag. 342, daher, letztes Säulenglied von oben.
 50 desgleichen pag. 342, daher, kleinster Kelch von der Seite.
 51 desgleichen pag. 342, daher, letztes Säulenglied von unten.
 52 desgleichen pag. 342, daher, grösstes rohes Stück.
 53 *Apiocrinus* *Milleri* pag. 342, daher, geblähte Form.
 54 *Apiocrinus* *Milleri* pag. 343, daher, zweites und drittes Radial?
 55 desgleichen pag. 343, Weisser Jura ϵ , Ehingen, Leibes Kern im Dolomit.
 56 u. 57 desgleichen pag. 343, Weisser Jura ϵ , Schnaitheim, Beckenglieder.
 58 u. 59 desgleichen pag. 343, Weisser Jura ϵ , Oerlinger Thal, erstes Radialglied.
 60 u. 61 desgleichen pag. 344, Terrain à Chailles, Besançon.
 62 *Guettardocrinus dilatatus* pag. 344, Coralrag, Angoulins, Copie.
 63 *Apiocrinus* *Roissyanus* pag. 345, daher, Copie.
 64—75 *Apiocriniten*stiele pag. 345, Weisser Jura ϵ , Nattheim.
 76 *Apiocriniten*stiel pag. 346, daher, angeschliffen.
 77—85 *Apiocriniten*stiele pag. 346, daher, enggliedrig.
 86 u. 87 *Apiocriniten*stiele pag. 347, daher.
 88 *Apiocrinites* pag. 347, Weisser Jura ζ , Brenzthal.
 89 desgleichen pag. 347, Weisser Jura ϵ , Sirchingen.
 90—92 desgleichen pag. 348, Weisser Jura ϵ , Nattheim.
 93—97 *Apiocrinites* pag. 348, Weisser Jura ϵ , Schnaitheim.
 98 *Apiocrinus* cf. *elongatus* pag. 349, Oolith, Ranville.
 99 u. 100 *Apiocrinus mespiliformis* pag. 350, Weisser Jura ϵ , Oerlinger Thal ($1/2$).
 101 desgleichen pag. 351, Coralrag, la Rochelle ($1/2$).
 102 *Apiocriniten*wurzel pag. 352, Weisser Jura ζ , Nollhaus.
 103 desgleichen pag. 352, Bohnerz.
 104 *Apiocriniten*stiel pag. 352, Terrain à Chailles, Pruntrut.





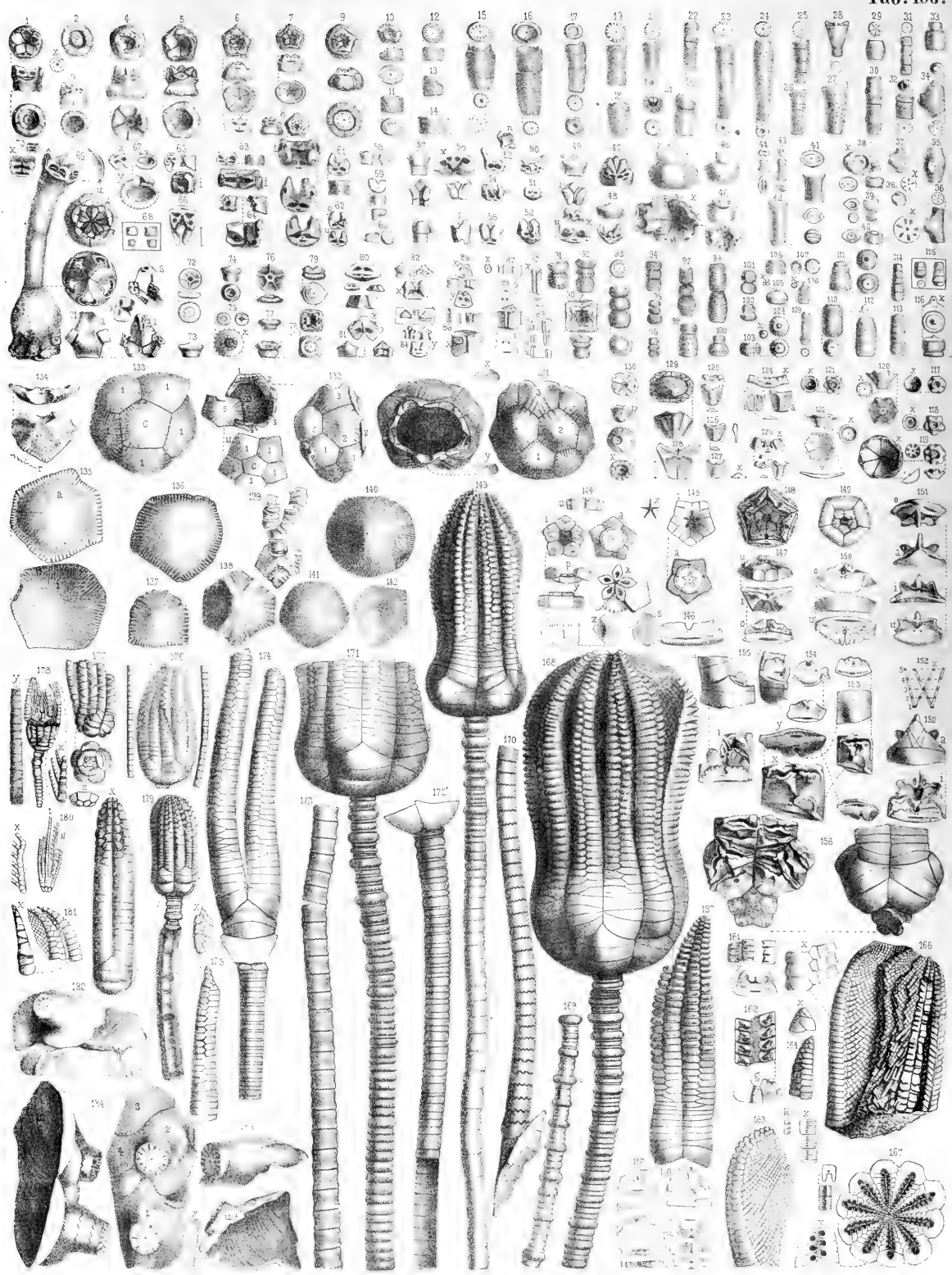
Erklärung tab. 104.

- Fig.
 1 Apiocrinus elongatus pag. 353, Weisser Jura, Belfort: *A* unten, *B* seitlich, *C* Stiel oben.
 2 desgleichen pag. 354, oberer Weisser Jura, Birsthal: *a* Querschnitt mit Fistulänenloch, *b* Seitenansicht mit Rinde.
 3 desgleichen pag. 355, daher, Säule: *a* Grösse des Nahrungskanals, *b* geringeltes Loch.
 4 desgleichen pag. 355, daher, Säule: *a* Grösse des Nahrungskanals.
 5 u. 6 Apiocrinitenstiele pag. 355, Weisser Jura γ , Onstmettingen.
 7 desgleichen pag. 355, Unterer Weisser Jura, Nusplingen.
 8—10 Apiocrinus impressac pag. 355, Weisser Jura α , Thieringen.
 11 Apiocrinustiel pag. 356, Oberer Weisser Jura, Nikolsburg, verdrückt.
 12 Apiocrinus sutus pag. 356, Weisser Jura ζ , Nollhaus.
 13 Apiocrinus cinctus pag. 357, Weisser Jura α , Böllert.
 14 u. 15 Apiocrinus echinatus pag. 358, Weisser Oolith ε , Schnaitheim.
 16—20 Apiocrinus annulatus pag. 358, Weisser Jura ε , Oerlinger Thal.
 21 u. 22 Apiocrinus multipunctatus pag. 359, daher.
 23—26 Apiocrinus echinatus pag. 359, Weisser Jura ε , Nattheim.
 27 u. 28 desgleichen pag. 359, daher, Nollhaus.
 29—34 desgleichen pag. 360, Terrain à Chailles, Kandern.
 35—37 Wurzelstücke pag. 361, desgleichen, Birsthal.
 38—47 Apiocrinus cf. echinatus pag. 362, desgleichen, daher.
 48 u. 49 desgleichen pag. 364, daher, Missbildungen.
 50 u. 51 desgleichen pag. 364, Terrain à Chailles, Mt. Terri.
 52 desgleichen pag. 364, daher, Klein-Lützel.
 53 desgleichen (horridus) pag. 365, daher, Launoy.
 54—56 desgleichen pag. 365, Oberer Brauner Jura, Vaches-noires.
 57 u. 58 Apiocrinus flexuosus pag. 367, Weisser Jura ε , Nattheim.
 59—63 Apiocrinus ellipticus pag. 367, Weisse Kreide, Rügen.
 64—66 Apiocrinus constrictus pag. 368, daher.
 67 Apiocrinus ellipticus pag. 368, Weisse Kreide, Lünzburg.
 68 desgleichen pag. 369, Pläner, Quedlinburg.
 69 desgleichen pag. 369, Kreidemergel, Gebrüderberg.
 70—72 desgleichen pag. 369, über Weisser Kreide, Maastricht.
 73—77 desgleichen pag. 370, oberer Grünsand, Teufelsmauer.
 78 u. 79 desgleichen pag. 371, Copie nach d'Orbigny, Kelche.
 80 u. 81 desgleichen pag. 371, Copie nach Parkinson, Kelche.
 82 desgleichen pag. 371, Eocen, Traunstein, Säulenglied.
 83 Apiocrinus Hagenowii pag. 371, Weisse Kreide, Rügen, Copie.
 84 Rhizocrinus Rawsonii pag. 372, lebend bei Barbados, Copie eines Kelches.
 85 Rhizocrinus Lofotensis pag. 372 lebt an der Norwegischen Küste, x Trochit vergrößert, Copie.
 86 u. 87 Apiocrinus Adneticus pag. 373, rother unterer Lias, Adnet.
 88—99 Apiocrinus amalthei pag. 374, Lias δ , Dörlbach.
 100 desgleichen pag. 375, daher, oberstes Säulenglied.
 101—104 desgleichen pag. 376, daher, verschiedene Kelchradiale.
 105 desgleichen pag. 375, daher, ideelle Zusammenstellung: *s* oberstes Säulenglied; *r* Kelchradiale; *a* Arm.
 106 u. 107 desgleichen pag. 376, daher.
 108 u. 109 Apioer. amalthei laevis pag. 377, daher, Doppelgelenke.
 110 Apiocrinus amalthei var. pag. 377, daher, Doppelgelenk unten concav.
 111 desgleichen pag. 377, Lias δ , Dreckberg, zweites Radialglied.
 112—114 desgleichen pag. 377, daher, verschiedene Stiele.
 115 Apiocrinus socialis pag. 377, daher, Wurzel.
 116—125 Apiocrinus Hausmanni pag. 378, Lias δ , Göttingen, Stiele.
 126 u. 127 Apiocrinus cf. sessilis pag. 379, daher, Wurzelplatten.
 128 u. 129 Apiocrinus pag. 379, daher, unwachsene Stiele.
 130—134 Apiocrinus sessilis pag. 379, Lias δ etc., Dörlbach, Heiningen etc.
 135 Apiocrinin? pag. 380, Lias β , Otterdingen.
 136 u. 137 Cotylederma pag. 380, Lias γ δ , Asefingen, *u* Unterseite.
 138—152 Mespilocrinus macrocephalus pag. 383, Brauner Jura ε , Enningen.
 153—156 desgleichen pag. 384, daher, Gosheim.
 157 desgleichen pag. 385, daher, Enningen.

Erklärung tab. 105.

- Fig. 1 Mespilocrinus macrocephalus pag. 385, Brauner Jura ϵ , Rathshausen.
 2 desgleichen pag. 385, daher, Nipf.
 3 u. 4 desgleichen pag. 386, Sowerby-Bank des Braunen Jura γ , Gingen.
 5—7 Acrochordocrinus insignis pag. 386, oberer Brauner Jura, Moskau.
 8 Mespilocrinus macrocephalus pag. 386, Brauner Jura ϵ , Einingen, Wurzel.
 9 desgleichen pag. 387, daher, Wasseralflügen, vergrösserte Wurzelnarben.
 10—12 desgleichen pag. 387, Macrocephaluslager, Gutmadingen, mit Eindrücken von Eisenkörnern.
 13—15 Eugeniocrinus Hoferi α pag. 389, Weisser Jura α , Lochen, Böllert etc.
 15. a desgleichen pag. 389, daher, oben angeknabbert.
 16 u. 17 desgleichen pag. 389, daher, cylindrisch.
 18—22 desgleichen pag. 389, daher, fassförmig.
 23—27 desgleichen pag. 390, daher, missgebildet.
 28—33 desgleichen pag. 390, daher, kugelig.
 34 desgleichen pag. 390, daher, kugelig und oben verwachsen, x vergrössert.
 35—38 desgleichen pag. 391, daher, Zwitter.
 39—42 Eugeniocrinus Hoferi ϵ pag. 391, Weisser Jura ζ , Nollhaus.
 43 desgleichen pag. 392, Weisser Jura ϵ , Nattheim, verkrüppelt.
 44—46 desgleichen pag. 392, daher, Oerlinger Thal.
 47 desgleichen pag. 392, daher, Niederstotzingen.
 48—54 Eugeniocrinus caryophyllatus α pag. 395, Weisser Jura α , Lochen und Böllert.
 55 u. 56 desgleichen pag. 397, daher, vergrösserte Gelenkgruben.
 57—59 desgleichen pag. 397, daher, nach den Blätterbrüchen gespalten.
 60 desgleichen pag. 398, daher, ein Radialglied herausgefallen.
 61 desgleichen pag. 398, daher, zweites Radial, x von unten vergrössert.
 62 desgleichen pag. 399, daher, Kelch mit zweitem Radial, i innen, a drittes Radial.
 63—71 desgleichen pag. 399, daher, dritte Radiale.
 72 u. 73 desgleichen pag. 400, daher, knorrigte Kelche, x vergrösserte Narbe.
 74—79 desgleichen pag. 401, daher, verkrüppelte Kelche.
 80 desgleichen pag. 402, daher, Kelch mit Stiel.
 81 u. 82 desgleichen pag. 402, daher, verkrüppelt.
 83—85 desgleichen pag. 402, daher, viertheilig.
 86—89 desgleichen pag. 403, mittlerer Weisser Jura, Schweiz, glockenförmig.
 90 u. 91 desgleichen pag. 403, Weisser Jura α , Böllert.
 92—95 desgleichen pag. 404, mittlerer Weisser Jura, Schweiz, schirmförmig.
 96 desgleichen pag. 404, Weisser Jura α , Böllert, Brut, o und u vergrössert.
 97—101 Eugeniocrinus caryophyllatus γ pag. 404, Weisser Jura γ , Wiesensteig, Bosler, Grabenstetten.
 102—105 Eug. caryophyllatus α pag. 405, Weisser Jura α , Böllert etc., Kelche mit Stielen.
 106 u. 107 desgleichen pag. 406, daher, Säule und Kelch mit Blätterbruch.
 108—122 desgleichen pag. 406, daher, Säulenstücke.
 123—128 desgleichen pag. 407, daher, Kelche und Säulen.
 129—132 desgleichen pag. 408, daher, verkrüppelte Säulen.
 133—137 desgleichen pag. 408, daher, Wurzeln.
 138—140 Eugeniocrinus cf. Hoferi pag. 409, daher, Wurzeln.
 141—156 Eugeniocrinus caryophyllatus pag. 410, daher, verschiedene Wurzeln.
 157 Eugeniocrinus nutans apertus pag. 414, Weisser Jura α , Böllert, x vergrösserte Gelenkfläche.
 158 Eugeniocrinus nutans opertus pag. 414, daher, x vergrösserte Gelenkfläche.
 159—162 Eug. nutans apertus pag. 415, Weisser Jura α , Böllert etc.
 163 u. 164 desgleichen pag. 415, mittlerer Weisser Jura, Veilsbrunn.
 165—170 Eug. nutans opertus pag. 415, Weisser Jura α , Böllert, Lochen etc., Kelche mit Stiel.
 171—174 Eugeniocrinus nutans pag. 417, daher, verkrüppelt.
 175—178 desgleichen pag. 418, daher, missgebildete Kelche.
 179—181 desgleichen pag. 418, daher, viertheilige Kelche.
 182—190 desgleichen pag. 419, daher, verschiedene Grösse.
 191 Eugeniocrinus nutans cidaris pag. 420, daher, x vergrösserte Gelenkflächen.
 192—226 Eugeniocrinitenstiele pag. 421, daher, von verschiedenster Grösse.



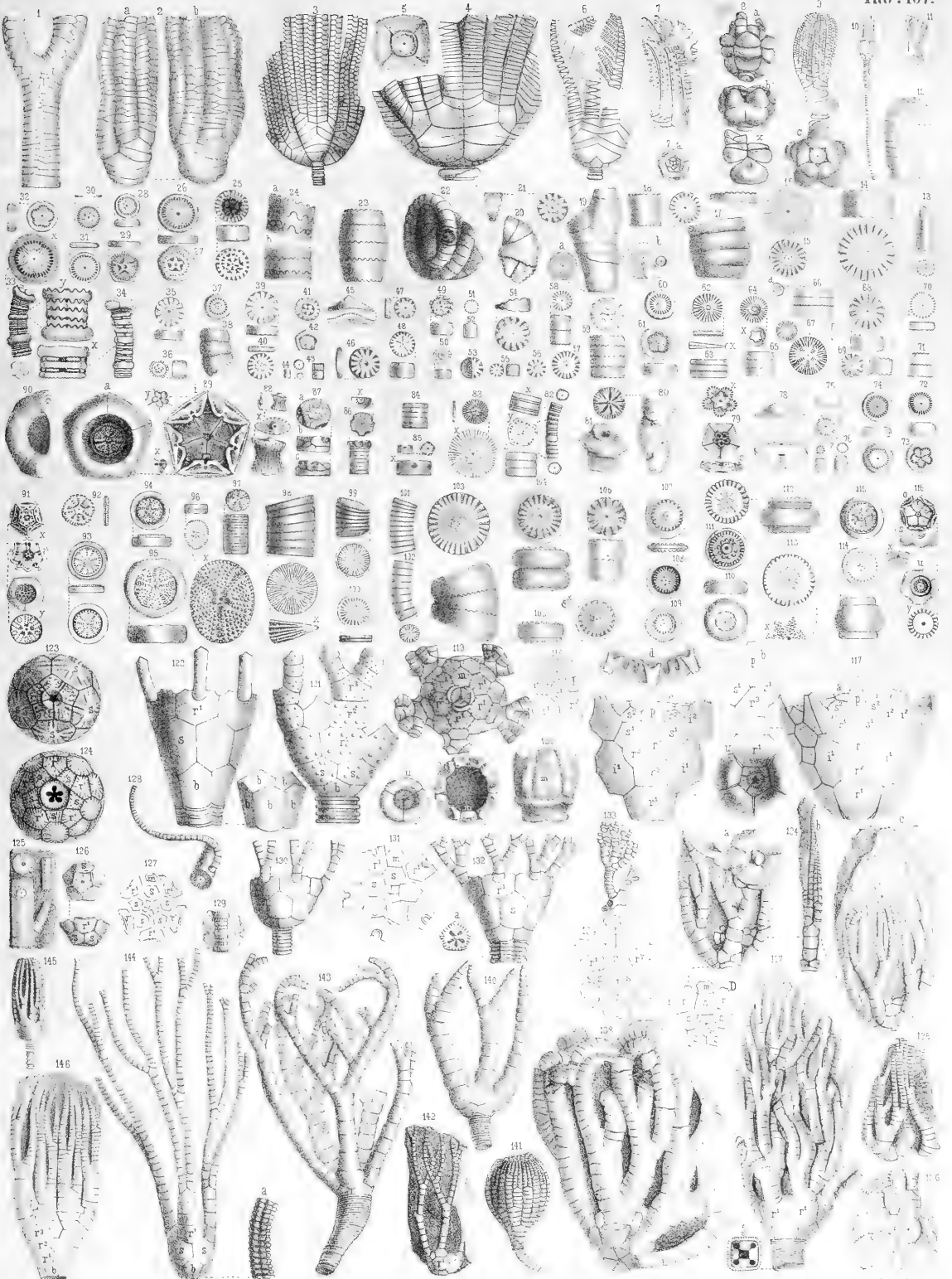


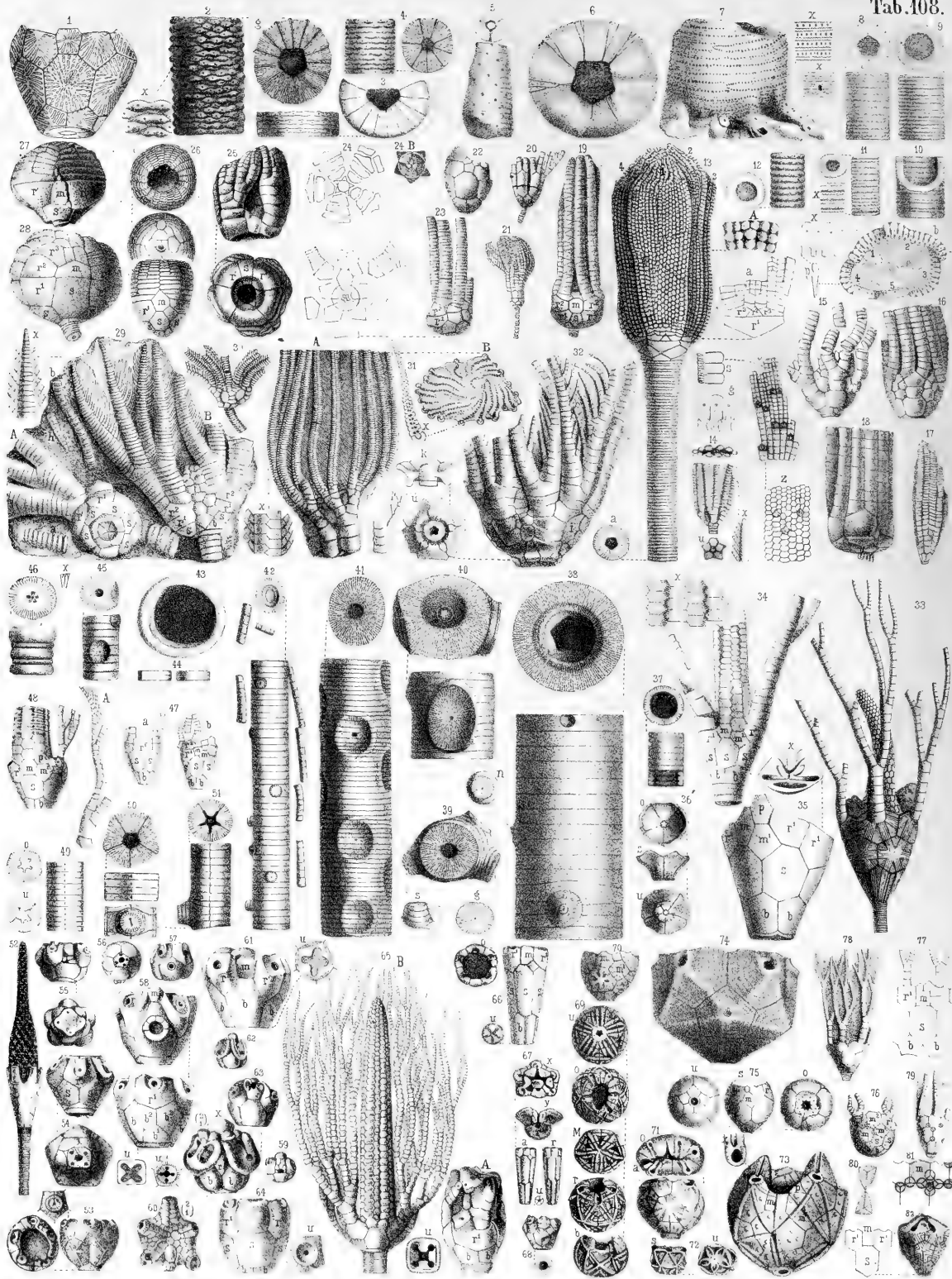
Erklärung tab. 106.

- Fig.
 1—5 *Eugeniocrinus coronatus* pag. 425, Weisser Jura α , Birmensdorf.
 6—9 *Eugeniocrinus compressus* pag. 427, Weisser Jura α , Lochen etc., Kelche.
 10 desgleichen pag. 427, daher, oberstes Säulenglied.
 11—24 desgleichen pag. 428, daher, Stiele.
 25—28 *Eugen. compressus asper* pag. 429, daher, Stiele und Krone.
 29—42 *Eugeniocrinus astralis* pag. 430, daher, Stiele.
 43 u. 44 *Bourgneticrinus* pag. 431, Weisser Jura α , Lochen, Trochiten.
 45—47 *Eugeniocrinus nutans* pag. 431, daher, verkrüppelte Kelche.
 48—58 desgleichen pag. 432, daher Doppelgelenke.
 59 u. 60 desgleichen pag. 433, daher, 2tes Radialglied mit Syzygalnaht.
 61—66 desgleichen pag. 434, daher, verschiedene Armglieder.
 67 desgleichen pag. 435, daher, verkrüppeltes Armglied.
 68 desgleichen pag. 436, daher, kleine Armglieder.
 69 *Eugeniocrinus caryophyllatus* pag. 436, Weisser Jura α , Böllert, ideales Bild.
 70 desgleichen pag. 436, daher, Armglied.
 71 desgleichen pag. 436, daher, Doppelgelenk mit Armgliedern, ideal zusammengestellt.
 72—75 *Tetracrinus moniliformis* pag. 437, daher, oberste Säulenglieder.
 76 u. 77 desgleichen pag. 438, daher, fünfteilige oberste Säulenglieder.
 78 u. 79 desgleichen pag. 438, daher, Kelchradiale mit Säulenglied.
 80 desgleichen pag. 438, daher, Radialglied.
 81—84 desgleichen pag. 439, daher, Doppelgelenke.
 85—89 desgleichen pag. 440, daher, Armglieder.
 90—92 desgleichen pag. 440, daher, Kelche mit Säulengliedern.
 93—107 desgleichen pag. 441, daher, verschiedene Trochiten.
 108—116 *Eugeniocrinus rugatus* pag. 442, Weisser Jura α , Lochen etc.
 117—121 *Plicatocrinus hexagonus* pag. 444, daher, fünf- bis siebenseitig.
 122 u. 123 desgleichen pag. 445, Weisser Jura γ , Lenninger Thal.
 124—128 desgleichen pag. 445, Weisser Jura α , Lochen, 2tes Radial.
 129 desgleichen pag. 446, Oberer Weisser Jura, Franken, verkieselt.
 130 *Plicatocrinus lasinus* pag. 446, Lias, Göttingen.
 131 *Marsupites ornatus* pag. 447, Weisse Kreide, England.
 132 u. 133 desgleichen pag. 450, Kreide, Lüneburg.
 134—137 desgleichen pag. 450, daher, vier zusammengehörige Tafeln.
 138 desgleichen pag. 451, daher, mit dicken Sculpturen.
 139 desgleichen pag. 451, Kreide, England, Copie nach Dixon, Radial mit Arm.
 140—142 *Marsupites cf. Milleri* pag. 451, Oberer Quader, Plattenberg.
 143 *Enerinus liliiformis* pag. 464, Hauptmuschelkalk, Erkerode.
 144—149 desgleichen pag. 454, Hauptmuschelkalk, Gaismühle.
 150 desgleichen pag. 457, daher, 2tes Radialglied.
 151 desgleichen pag. 457, daher, drittes Radialglied.
 152 desgleichen pag. 458, daher, 2tes u. 3tes Radial, α Kanallauf.
 153—156 desgleichen pag. 459, daher, Kelch- und Armstücke.
 157 desgleichen pag. 461, daher, Erkerode, ein Strahl.
 158—160 desgleichen pag. 461, daher, Armglieder.
 161 u. 162 desgleichen pag. 461, daher, Armstücke von innen.
 163—165 desgleichen pag. 462, daher, Armspitzen und Pinnulae.
 166 u. 167 desgleichen pag. 463, Hauptmuschelkalk, Vorwohle.
 168 desgleichen pag. 463, Hauptmuschelkalk, Gaismühle.
 169 u. 170 desgleichen pag. 463, daher, Stiele.
 171 desgleichen pag. 464, Hauptmuschelkalk, Erkerode.
 172—175 desgleichen pag. 465, Hauptmuschelkalk, Gaismühle (*Cylindrici*).
 176 u. 177 desgleichen pag. 466, daher, kleine Kronen.
 178 *Enerinus cf. gracilis* pag. 466, daher.
 179 *Enerinus liliiformis* pag. 467, Hauptmuschelkalk, Neckarvaihingen.
 180 *Enerinus gracilis* pag. 467, Muschelkalk, Recoaro, Copie.
 181 *Enerinus liliiformis* pag. 467, Hauptmuschelkalk, Gaismühle, α vergrösserte Spitze zwischen den dickern.
 182—184 desgleichen pag. 467, daher, Wurzeln.

Erklärung tab. 107.

- Fig. 1 Encrinetes liliiformis pag. 469, Hauptmuschelkalk, Erkerode, gegabelte Hand, Copie.
 2 desgleichen pag. 469, daher, zwei getrennte Strahlen.
 3 Encrinetes Schlotheimii pag. 470, Hauptmuschelkalk, Göttingen.
 4 Encrinus Carnalli pag. 470, Schaumkalk, Rüdersdorf, Copie.
 5 Encrinus liliiformis pag. 469, Hauptmuschelkalk, Erkerode, viertheiliges Becken, Copie.
 6 Encrinus Brahlhi pag. 471, Schaumkalk, Rüdersdorf, Copie.
 7 Encrinus aculeatus pag. 471, Hauptmuschelkalk, Oberschlesien, Kronenrest, a Becken, Copie.
 8 Encrinus Cassianus pag. 472, Muschelkalk, St. Cassian.
 9 desgleichen pag. 473, daher, ein ganzer Strahl, Copie.
 10 Dadocrinus gracilis pag. 473, Hauptmuschelkalk, Chorow, Copie.
 11 Calathocrinus digitatus pag. 474, daher, Copie.
 12 Encrinus liliiformis pag. 474, Hauptmuschelkalk, Schwerfen, Knospe, Copie.
 13 desgleichen pag. 474, Hauptmuschelkalk, Gaismühle, vernalbter Trochit.
 14—16 desgleichen pag. 474, daher, verschiedene Trochiten.
 17 desgleichen pag. 474, daher, zur Hälfte verwachsene Trochiten.
 18 desgleichen pag. 474, daher, verengter Trochit.
 19 desgleichen pag. 474, Hauptmuschelkalk, Hildesheim, gegabeltes Säulenstück.
 20—24 desgleichen pag. 475, Hauptmuschelkalk, Gaismühle, gekrümmte Stiele.
 25—32 desgleichen pag. 475, daher, gesternt Trochiten.
 33 u. 34 desgleichen pag. 476, daher, obere Säulenstücke.
 35—37 Encrinus liliiformis pag. 477, Wellendolomit, Krauthelm.
 38 desgleichen pag. 477, Wellendolomit, Wildberg.
 39—45 desgleichen pag. 478, Wellenkalk, Deubach.
 46—53 desgleichen pag. 478, Schaumkalk, Rüdersdorf.
 54—61 desgleichen pag. 479, unterer Muschelkalk, Schlesien.
 62—67 Encrinus Silesiacus pag. 479, daher, Trochiten.
 68—77 Encrinus liliiformis pag. 480, Muschelkalk, Recoaro, Trochiten.
 78—82 desgleichen pag. 481, daher, Varia.
 83—87 Encrinus cf. Silesiacus pag. 481, daher, Varia.
 88 Problematicum pag. 482, daher, Hilfsarmglied?
 89 u. 90 Encrinus varians pag. 482, Obere Trias, St. Cassian, Becken.
 91 Encrinus granulatus pag. 485, daher, Becken.
 92—95 Encrinus varians pag. 484, daher, Trochiten.
 96 u. 97 Encrinus granulatus pag. 485, daher, Trochiten.
 98—102 Encrinus cf. Silesiacus pag. 486, daher, Trochiten.
 103—115 Encrinus Cassianus pag. 486, daher, verschiedene Trochiten.
 116 Pentacrinites subrenatus pag. 488, daher, Becken.
 117 u. 118 Eucalyptocrinus decorus pag. 489, Gothländerkalk, Waldron.
 119 Actinocrinus stellaris pag. 491, Oberer Bergkalk, Tournay.
 120 Hexacrinus exsculptus pag. 491, Eifelerkalk, Eifel.
 121 Cyathocrinus tuberculatus pag. 492, Gothländerkalk, Dudley, Copie.
 122 Poteriocrinus tenuis pag. 492, Bergkalk, Mendip Hills, Copie.
 123 Cyathocrinus geometricus pag. 493, Eifelerkalk, Eifel.
 124 Rhodocrinus crenatus pag. 492, daher, Kelch von der Unterseite.
 125 Encrinus ramosus pag. 498, Zechstein, Glücksbrunn.
 126 u. 127 desgleichen pag. 499, Zechstein, Tunstall Hill, Kelch, Copie.
 128 u. 129 desgleichen pag. 499, Zechstein, Glücksbrunn.
 130 u. 131 Cyathocrinus planus pag. 500, Bergkalk, England, Copie.
 132 Cyathocrinus quinquangularis pag. 500, daher, Copie.
 133 Cyathocrinus tuberculatus pag. 500, Gothländerkalk, Dudley, Copie.
 134 desgleichen (Taxocrinus) pag. 500, daher, D Diagramm pag. 496.
 135 Cyathocrinus Rhenanus pag. 502, Eifelerkalk, Gerolstein.
 136 desgleichen pag. 502, daher, Unteransicht, Copie.
 137 Taxocrinus Briareus pag. 502, daher, Copie.
 138 Cyathocrinus nobilis pag. 503, Bergkalk, Bolland, Copie.
 139 Forbesiocrinus pag. 503, Bergkalk, Tournay, Copie.
 140 Poteriocrinus Egertoni pag. 503, Bergkalk, Bolland, Copie.
 141 Cyathocrinus pyriformis pag. 501, Gothländerkalk, Dudley, Copie (Ichthyocrinus).
 142 Cyathocrinus inaequidactylus pag. 504, Bergkalk, Irland, Copie.
 143 Taxocrinus polydactylus pag. 504, daher, Copie.
 144 Cyathocrinus macrocheirus pag. 504, daher, Copie.
 145 Atocrinus Milleri pag. 504, daher, Copie in nat. Grösse.
 146 Taxocrinus interscapularis pag. 505, Devon, New-Buffalo, Copie.



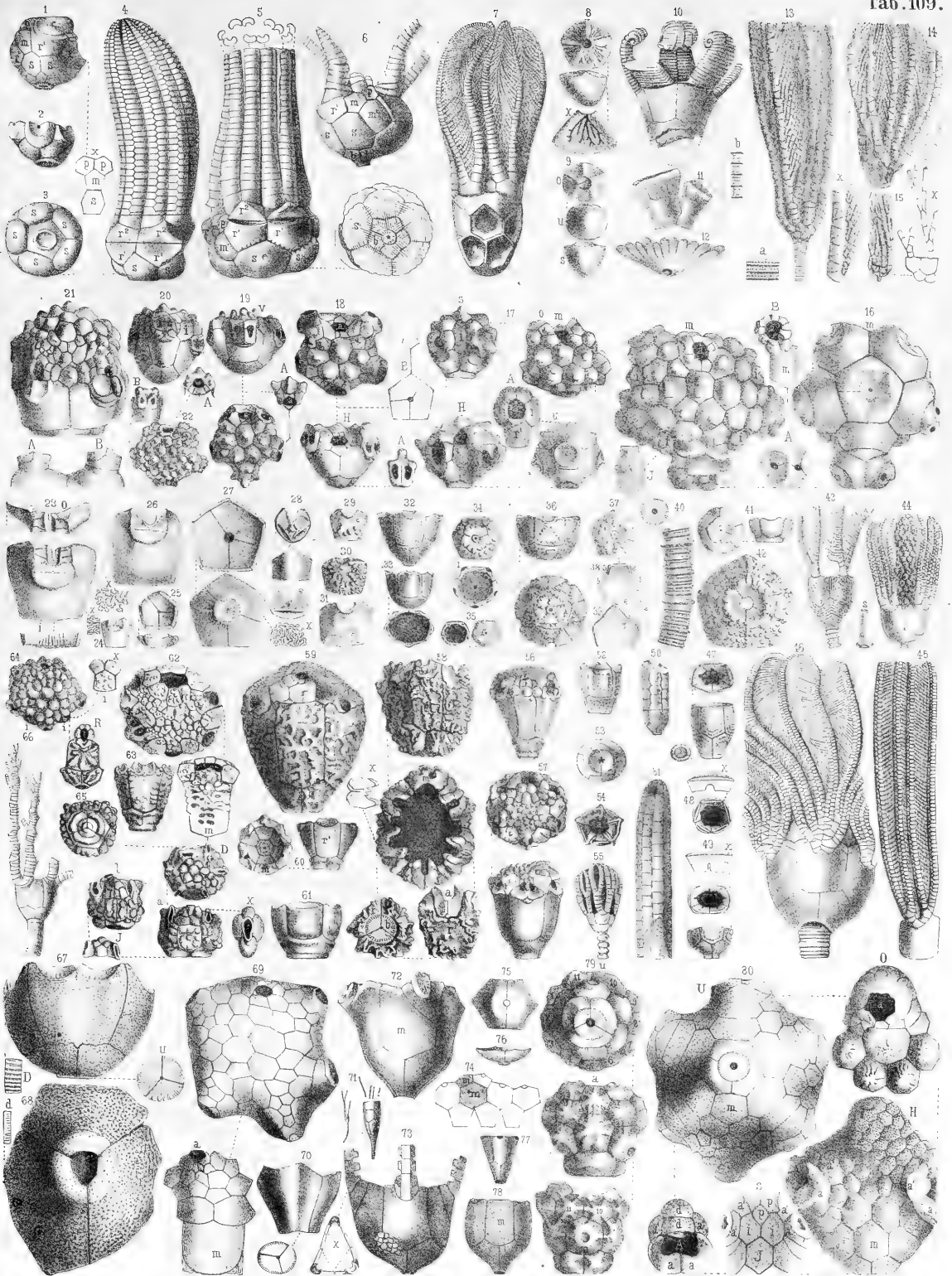


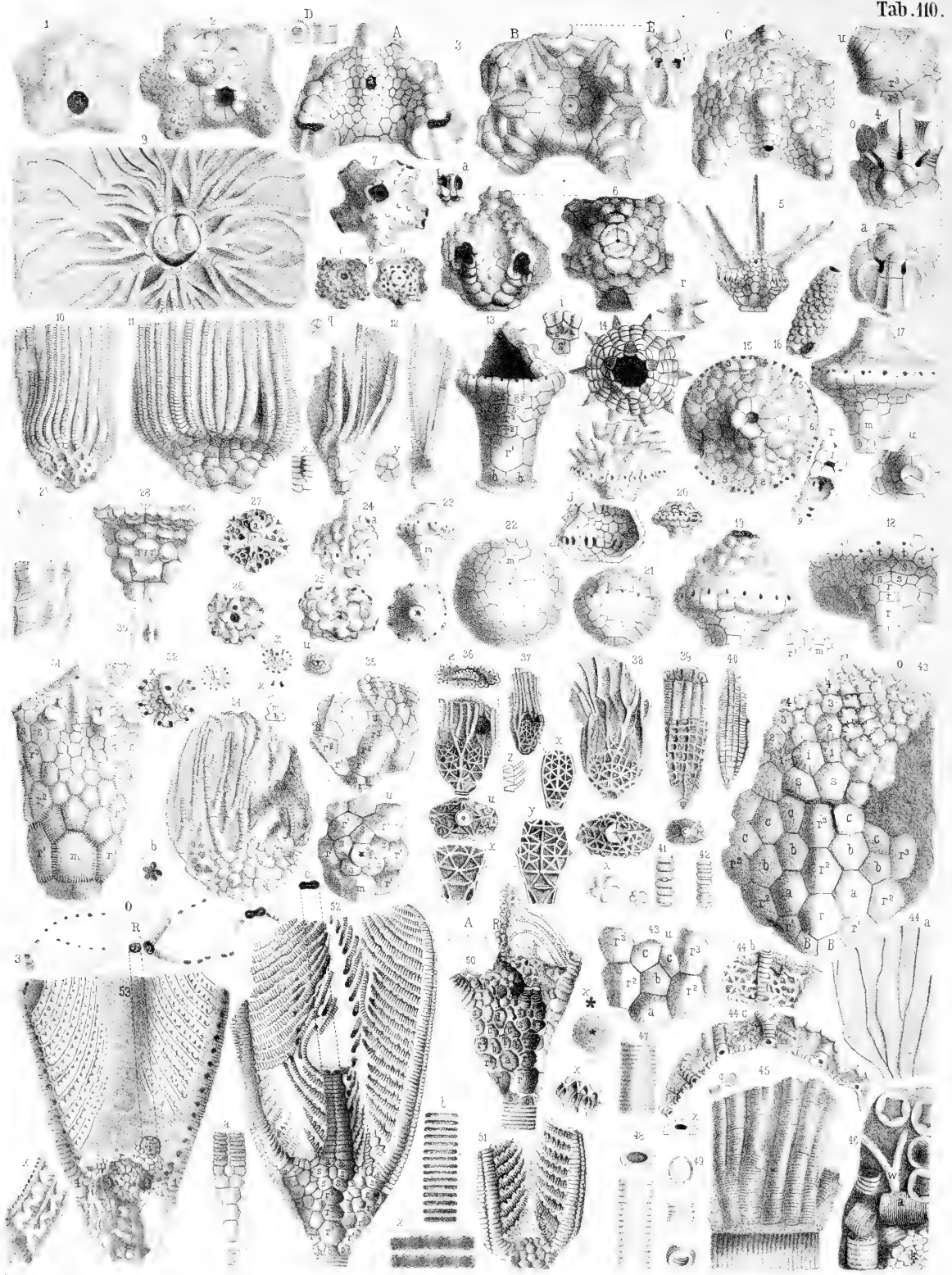
Erklärung tab. 108.

- Fig.
 1 Cyathocrinus rugosus pag. 505, Gothländerkalk (Crotalocrinus), Copie.
 2—7 desgleichen pag. 506, Mittleres Uebergangsgebirge, Gothland.
 8—12 desgleichen pag. 508, daher, verschiedene Stielabänderungen.
 13 Anthocrinus Loveni pag. 508, daher, Gothländer Kalk, *b* Querschnitt der untern Kronengegend.
 14 Cyathocrinus simplex pag. 511, Gothländerkalk, Dudley (Phoenicoocrinus).
 15 desgleichen pag. 511, daher, Copie.
 16 desgleichen pag. 511, Mittleres Uebergangsgebirge, Gothland, Copie (Carpocrinus).
 17 Heterocrinus simplex pag. 512, Hudson river group, Cincinnati, Copie.
 18 Graphiocrinus encrinoides pag. 512, oberer Bergkalk, Tournay, Copie.
 19 Scaphiocrinus simplex pag. 513, Bergkalk, Burlington, Copie.
 20 Scaphiocrinus internodius pag. 513, Kaskaskia Limestone, Illinois, Copie.
 21 Scaphiocrinus scoparius pag. 513, daher, Copie.
 22 Agassizocrinus gibbosus pag. 514, daher, Copie.
 23 Zeacrinus maniformis pag. 514, daher, Copie.
 24 Ichthyocrinus Burlingtonensis pag. 515, Bergkalk, Iowa, Copie.
 24.B Ichthyocr. laevis pag. 515, Mittleres Uebergangsgebirge, Lockport, Copie.
 25 Zeacrinus excavatus pag. 514, Eifelerkalk, Kerpen, Copie.
 26 Lecanocrinus macropetalus pag. 516, Mittleres Uebergangsgebirge, Lockport, Copie.
 27 Lecanocrinus Römeri pag. 516, Eifelerkalk, Kerpen, Copie.
 28 Mespilocrinus Forbesianus pag. 516, Bergkalk, Tournay, Copie.
 29 Woodocrinus macrodactylus pag. 517, Bergkalk, Yorkshire.
 30 Dimerocrinus decadactylus pag. 519, Wenlockkalk, Dudley, Copie.
 31 Dimerocrinus icosidactylus pag. 518, daher, *A* Seite, *B* Querschnitt.
 32 Dimerocrinus oligoptilus pag. 520, Devon, Schelon, Copie.
 33 Poteriocrinus radiatus pag. 522, Bergkalk, Irland, Copie.
 34 Poteriocrinus Missouriensis pag. 522, Bergkalk, St. Louis, Copie.
 35 Poteriocrinus conicus pag. 523, Bergkalk, Bolland, Copie.
 36 Poteriocrinus pag. 523, oberer Bergkalk, Tournay.
 37 Poteriocrinus cf. crassus pag. 524, Bergkalk, Ratingen.
 38 Poteriocrinus crassus pag. 524, Bergkalk, Derbyshire.
 39 u. 40 desgleichen pag. 525, Bergkalk, Wezet.
 41 Poteriocrinus sigillatus pag. 525, Bergkalk, Néfiez.
 42—44 Poteriocrinus pag. 526, Bergkalk, Alston.
 45 Poteriocrinus pag. 526, Bergkalk, Kentucky.
 46 Poteriocrinus cf. originarius pag. 526, Bergkalk, Wezet.
 47 Hydroocrinus pusillus pag. 527, Bergkalk, Moskau, Copie.
 48 Poteriocrinus curtus pag. 527, Eifelerkalk, Copie.
 49 u. 50 Rhodocrinus quinquepartitus pag. 528, daher.
 51 Poteriocrinus pag. 528, Bergkalk, Kentucky.
 52 Poteriocrinus gracilis pag. 528, Bergkalk, Irland, Copie.
 53 Codiocrinus granulatus pag. 529, Eifelerkalk, Copie.
 54 Myrtillocrinus elongatus pag. 529, Strigocephalenkalk, Villmar, Copie.
 55—57 Epactocrinus antiquus pag. 530, Eifelerkalk, Copie.
 58 Epactocrinus irregularis pag. 530, desgleichen, Copie.
 59 u. 60 Epactocrinus antiquus pag. 531, desgleichen, Copie.
 61 Ceramocrinus Eifeliensis pag. 531, desgleichen, Copie.
 62 u. 63 Nannocrinus paradoxus pag. 531, desgleichen, Copie.
 64 Achradocrinus ventrosus pag. 532, desgleichen, Copie.
 65.A Lecythocrinus Eifelianus pag. 532, desgleichen, Copie.
 65.B Taxocrinus Briareus pag. 533, desgleichen, Copie, ideale Figur.
 66 u. 67 Poteriocrinus fusiformis pag. 533, Eifelerkalk, Kerpen.
 68 Poteriocrinus stellaris pag. 534, desgleichen Copie.
 69—72 Poteriocrinus geometricus pag. 535, Eifelerkalk, Eifel (Sphaerocrinus).
 73 Poteriocr. geometr. trabeculatus pag. 537, daher.
 74 Poteriocr. geometr. concentricus pag. 538, daher.
 75 Hydroionocrinus globularis pag. 538, Bergkalk, Glasgow, Copie.
 76 Carabocrinus radiatus pag. 539; Trentonkalk, Ottawa, Copie.
 77 Dendrocrinus pag. 540, daher, Copie.
 78 Dendrocrinus gregarius pag. 540, daher, Copie.
 79—81 Porocrinus conicus pag. 540, daher, Copie.
 82 Palaeocrinus striatus pag. 539, Chazy limestone, Montreal, Copie.

Erklärung tab. 109.

- Fig.
1 Cyathocrinus mammillaris pag. 542, Bergkalk, Visé, Copie.
2 desgleichen pag. 542, Bergkalk, Bolland.
3 u. 4 Stemmatoocrinus cernuus pag. 542, oberer Bergkalk, Moskau, Copie.
5 Cromyocrinus geminatus pag. 543, daher, Copie.
6 Cromyocrinus simplex pag. 543, daher, Copie.
7 Astylocrinus laevis pag. 543, Kohlenkalk, Prairie du Long, Copie.
8 u. 9 desgleichen pag. 544, daher, Centralglieder.
10 u. 11 Edriocrinus sacculus pag. 544, Oriskany Sandstein, Copie.
12 Aspidocrinus digitatus pag. 545, Helderberggruppe, Copie.
13 Lophocrinus speciosus pag. 545, Culm, Herborn.
14 Poteriocrinus cuneatus pag. 546, Bergkalk, Burlington.
15 Cyathocrinus enormis pag. 546, Burlingtonlimestone.
16 Platycrinus pileatus pag. 548, Bergkalk, Irland.
17 Platycrinus microbasalis pag. 551, Bergkalk, Irland.
18 Platycrinus anulus pag. 551, Bergkalk, Irland.
19 Platycrinus coronatus pag. 552, Bergkalk, Irland.
20 Platycrinus cf. pileatus pag. 552, Bergkalk, England.
21 Platycrinus rugosus pag. 550, Bergkalk, Irland.
22 Platycrinus pileatus pag. 552, oberer Bergkalk, Tournay.
23—28 Platycrinus cf. laevis pag. 552, daher.
29 Platycrinus cf. tuberculatus pag. 553, daher, erstes Radial.
30 Platycrinus granulatus pag. 554, daher, erstes Radial.
31 Platycrinus cf. granosus pag. 554, daher, erstes Radial.
32 Platycrinus granosus pag. 554, daher, Kelch.
33 Platycrinus ornatus pag. 554, daher, Kelch.
34 u. 35 Platycrinus tuberculatus pag. 554, daher, Kelch.
36 Platycrinus cruciatus pag. 554, daher, Kelch.
37 Platycrinus tuberculatus pag. 554, daher, Kelch.
38 u. 39 Platycrinitenasseln pag. 554, mit Blätterbrüchen, daher.
40 Platycrinus ornatus pag. 555, daher, Stiel.
41 Platycrinus cf. tuberculatus pag. 555, Bergkalk, Burlington.
42 Platycrinus sculptus pag. 556, Bergkalk, Warsaw, verkieselt.
43 Platycrinus ornatus pag. 556, oberer Bergkalk, Tournay, Copie.
44 Platycrinus spinosus pag. 557, daher, Copie; s. Stachel.
45 Platycrinus laevis pag. 557, Bergkalk, England, Copie.
46 Platycrinus Sarae pag. 556, St. Louis Limestone, Copie.
47 u. 48 Platycrinus tabulatus pag. 557, Devon, Eifel.
49 Plat. tabulatus depressus pag. 558, daher.
50 Stylocrinus scaber pag. 558, Strigocephalenkalk, Villmar, Copie.
51 Symbathocrinus Wortheni pag. 558, Burlington Limestone, Copie.
52 Platycrinus fritillus pag. 559, Eifelerkalk, Copie (Storthingocrinus).
53 Phinoocrinus laevis pag. 559, Eifelerkalk, Pelm, Copie.
54 Phinoocrinus quinquangularis pag. 559, daher, Copie.
55 Hexacrinus brevis pag. 560, Eifelerkalk, Gerolstein, Copie.
56 u. 57 Hexacrinus elongatus pag. 561, Eifelerkalk.
58 Hexacrinus crispus pag. 562, Eifelerkalk.
59 Hexacrinus anaglypticus pag. 561, Eifelerkalk.
60 Hexacrinus brevis pag. 562, Eifelerkalk.
61 Hexacrinus cf. callosus pag. 560, Eifelerkalk.
62 u. 63 Hexacrinus anaglypticus pag. 561, Eifelerkalk.
64 Hexacrinus symmetricus pag. 563, Eifelerkalk.
65 Hexacrinus lobatus pag. 564, Eifelerkalk.
66 Hexacrinus limbatus pag. 560, Eifelerkalk, Copie.
67 Hexacrinus magnificus pag. 565, Eifelerkalk.
68 Hexacrinus hieroglyphicus pag. 565, Eifelerkalk.
69 Hexacrinus stellaris pag. 565, Eifelerkalk.
70 Hexacrinus pag. 566, Becken, Gerolstein.
71 Homocrinus parvus pag. 567, Lockport, Niagarakalk, Copie.
72 Apioocrinus dipentus (Hoploocrinus) pag. 567, Vaginatenkalk, Petersburg, Copie.
73 Baerocrinus Ungerni pag. 568, Brandschiefer, Erras.
74 Hypocrinus pag. 567, Trentonkalk, Diagramm, Copie.
75 Dichocrinus laevis pag. 566, Becken, Bergkalk, Copie.
76 Dichocrinus expansus pag. 567, oberer Bergkalk, Tournay, Copie.
77 Dichocrinus fusiformis pag. 567, daher, Copie.
78 Dichocrinus radiatus pag. 567, daher, Copie.
79 Actinoocrinus cf. umbrosus pag. 571, Bergkalk, Burlington.
80 Actinoocrinus amphora pag. 571, Bergkalk, Florence Court.



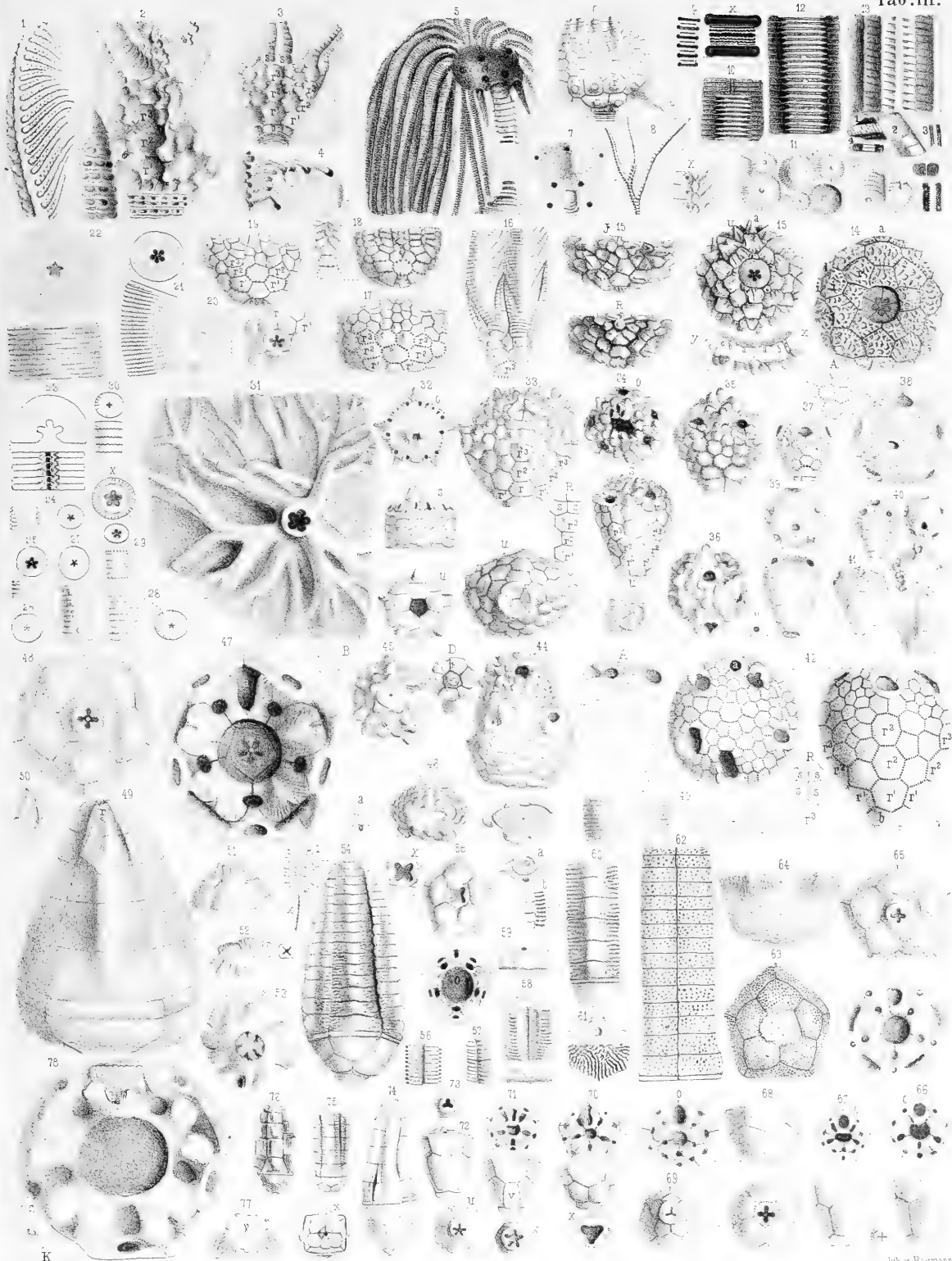


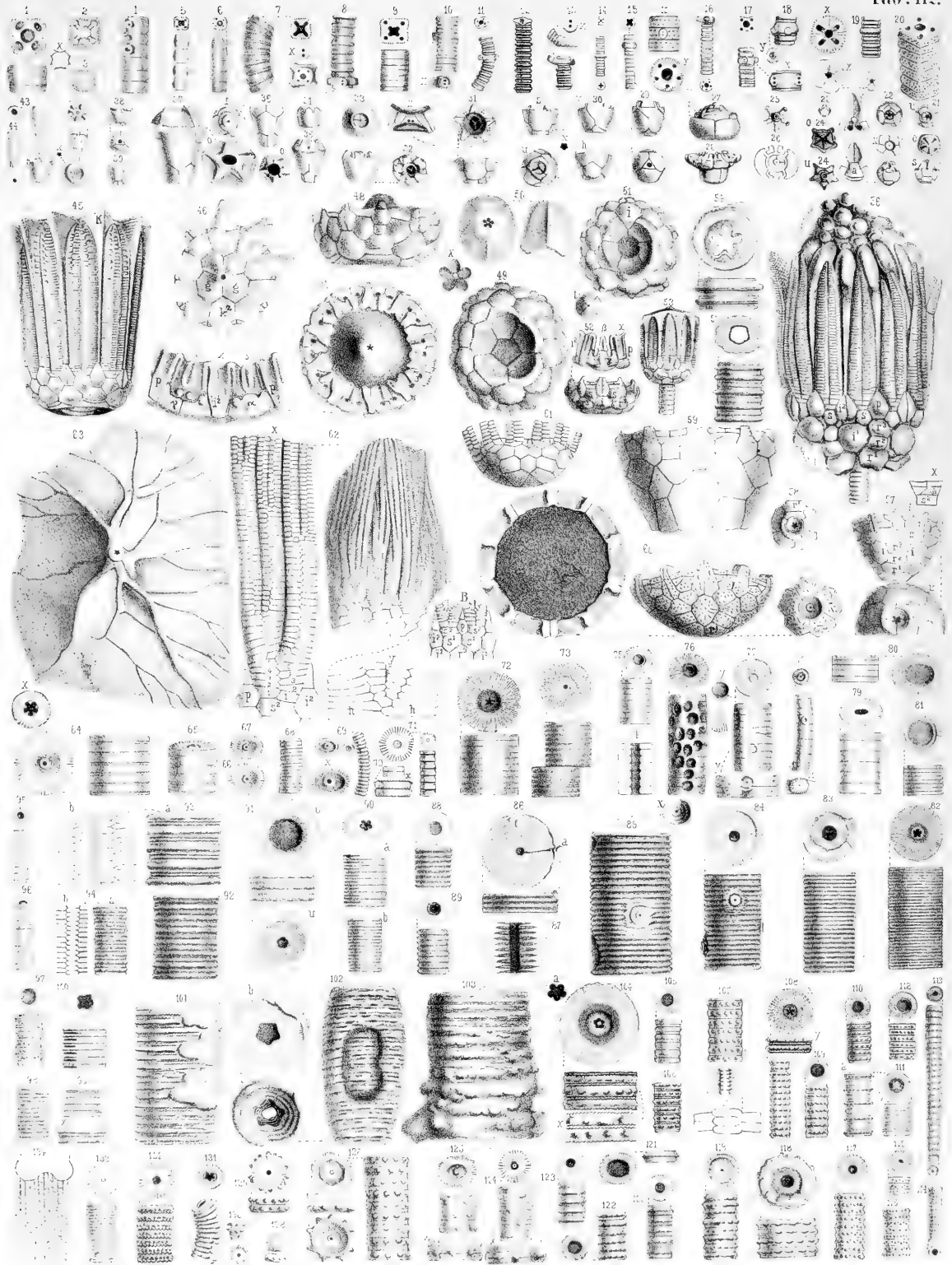
Erklärung tab. 110.

- Fig.
1 Actinocrinus amphora pag. 572, Bergkalk, England, von oben.
2 Act. amphora papillata pag. 573, Bergkalk, Irland, von oben.
3 Amphoracrinus Americanus pag. 573, Bergkalk, Warsaw.
4 desgleichen pag. 573, daher, *u* und *o* dreiarziger, *a* zweiarziger Strahl.
5 Dorycrinus Mississippensis pag. 575, daher, verkleinerte Copie.
6 Actinocrinus stellaris pag. 575, Oberer Bergkalk, Tournay.
7 desgleichen pag. 576, daher, von oben, *a* Armlöcher.
8 desgleichen pag. 576, daher, kleines Exemplar.
9 Actinocrinus cf. triacontadactylus pag. 577, Bergkalk, Hook Point.
10.11 Actinocrinus proboscidualis pag. 578, Lower Burlington Limestone.
12 Eretmocrinus Verneuilianus pag. 578, daher.
13 Actinocrinus pyriformis pag. 579, daher, *i* Innenseite des Kelchrandes.
14 Actinocrinus icosidactylus pag. 580, verkieselt, Bergkalk, Jowa, *I* Innenseite.
15—18 Actinocrinus Cristyi pag. 581, Lower Burlington Limestone.
19.20 Actinocrinus cf. æqualis pag. 582, daher, verkalkt.
21.22 Actinocrinus rotundus pag. 583, daher, verkalkt.
23 Actinocrinus Verneuilianus pag. 583, daher, verkalkt.
24—26 Actinocrinus unicornis pag. 584, daher, verkalkt.
27 desgleichen pag. 584, daher, Kieseln mit After *a*.
28 Actinocrinus umbrosus pag. 585, daher, verkieselt.
29 Entrochites laceratus pag. 585, daher, verkalkt.
30 Trochites rhombus pag. 585, daher, verkalkt.
31 Pradocrinus Baylii pag. 585, Devon, Sabero, Copie.
32.33 Actinocrinus Prumiensis pag. 586, Devon, Eifel.
34 Rhodocrinus verus pag. 589, Mittleres Uebergangsgebirge, Dudley, Copie.
35 Thysanocrinus liliiformis pag. 589, Mittleres Uebergangsgebirge, Gothland.
36.37 Glyptocrinus decadactylus pag. 590, Hudsons river Group, Cincinnati.
38 desgleichen pag. 591, Niagaragruppe, Lockport.
39 Heterocrinus decabrachius pag. 592, Hudsons river Group, Ohio.
40 Heterocrinus simplex pag. 592, daher, Copie.
41.42 desgleichen pag. 592, Stiele, daher.
43 Scyphocrinus elegans pag. 593, Mittleres Uebergangsgebirge, Carlstein.
44 desgleichen pag. 594, daher, Krone Reste.
45 desgleichen pag. 595, daher, unten Stielabdruck, oben Arme.
46—49 desgleichen pag. 595, daher, verschiedene Stiele.
50 Ctenocrinus typus pag. 596, Grauwacke, Lahnstein.
51 desgleichen pag. 598, daher, zwei Armabdrücke.
52 desgleichen pag. 598, daher, Krone mit drei Armen.
53 desgleichen pag. 599, daher, Krone mit Rüssel *R* und Armen 1—4.

Erklärung tab. 111.

- Fig.
1 u. 2 *Ctenocrinus typus* pag. 600, Grauwacke, Daleiden.
3 u. 4 desgleichen pag. 601, Grauwacke, Hunsrück.
5 *Acanthocrinus longispina* pag. 601, Grauwacke, Coblenz.
6 desgleichen pag. 601, daher, Copie.
7 desgleichen pag. 602, daher, Stiel von Dornlöchern umgeben.
8 u. 9 desgleichen pag. 602, daher, Arm und Stiele.
10—12 Runde Schraubensteine pag. 603, Grauwacke, Rübeland etc.
13 Fünfeckigte Schraubensteine pag. 604, Grauwacke, Rübeland.
14 *Rhodocrinus erenatus* pag. 605, Eifelerkalk, Gerolstein (*reticulatus*).
15 desgleichen pag. 606, daher (*aculeatus*).
16 desgleichen pag. 607, Eifelerkalk, Kerpen, Copie eines Armstrahles.
17 desgleichen pag. 607, daher, interradiale Ansicht.
18 u. 19 desgleichen pag. 608, daher (*bursiformis*).
20 *Entrochit* pag. 608, Eifeler Kalk, cf. *Eucalyptocrinus*.
21—28 *Rhodocrinus* pag. 609, daher.
29 *Rhodocrinus* cf. *verus* pag. 609, Bergkalk, England.
30 *Rhodocrinus* pag. 609, Eifelerkalk, viertheilig.
31 *Rhodocrinus* pag. 610, Gothländerkalk, Waldron, Wurzel.
32 *Actinocrinus pentactis* pag. 610, Devon, Ohiofälle, verkieselt.
33 u. 34 *Melocrinus gibbosus* pag. 611, Eifelerkalk, Kerpen.
35 u. 36 *Melocrinus verrucosus* pag. 613, daher.
37 u. 38 *Melocrinus laevis* pag. 613, daher.
39—41 *Melocrinus hieroglyphicus* pag. 613, Devon, Chimay.
42 desgleichen pag. 614, Devon, Nismes.
43 *Entrochus compressus* pag. 615, Eifelerkalk, Gerolstein.
44 *Melocrinus pyramidalis* pag. 615, daher, *D* Scheitel.
45 u. 46 *Melocrinus fornicatus* pag. 615, daher, *B* Basalia.
47—49 *Cupressocrinus abbreviatus* pag. 619, daher.
50 desgleichen pag. 620, daher, Armspitze von Innen.
51 desgleichen pag. 620, daher, Spitze.
52 u. 53 Wurzeln von *Cupressocrinen* pag. 618, Eifelerkalk, Bensberg.
54 u. 55 *Cupressocrinus crassus* pag. 621, daher.
56—60 desgleichen pag. 621, daher, einzelne Armtheile.
61—63 *Cupressocrinus elongatus* pag. 621, Eifelerkalk, Gerolstein.
64 *Cupress. abbreviatus concentricus* pag. 619, daher.
65 *Cupress. abbreviatus granulosis* pag. 619, daher.
66 u. 67 *Cupress. gracilis* pag. 622, daher.
68 *Cupress. gracilis ovalis* pag. 622, daher.
69 u. 70 *Cupress. trimerus* pag. 623, daher.
71 *Cupress. pentamerus* pag. 623, daher, *x* vergrößertes Stielende.
72—74 *Cupress. cf. gracilis* pag. 623, daher, Copien.
75 *Cupress. tetragonus* pag. 624, daher, *x* vergrößerte Unterseite, Copie.
76 *Cupress. inflatus* pag. 624, Eifelerkalk, Kerpen, Copie.
77 *Cupress. crassus* pag. 618, daher, Querschnitt vom Arm, Copie.
78 *Cupress. abbreviatus* pag. 620, daher, *s* Loch.



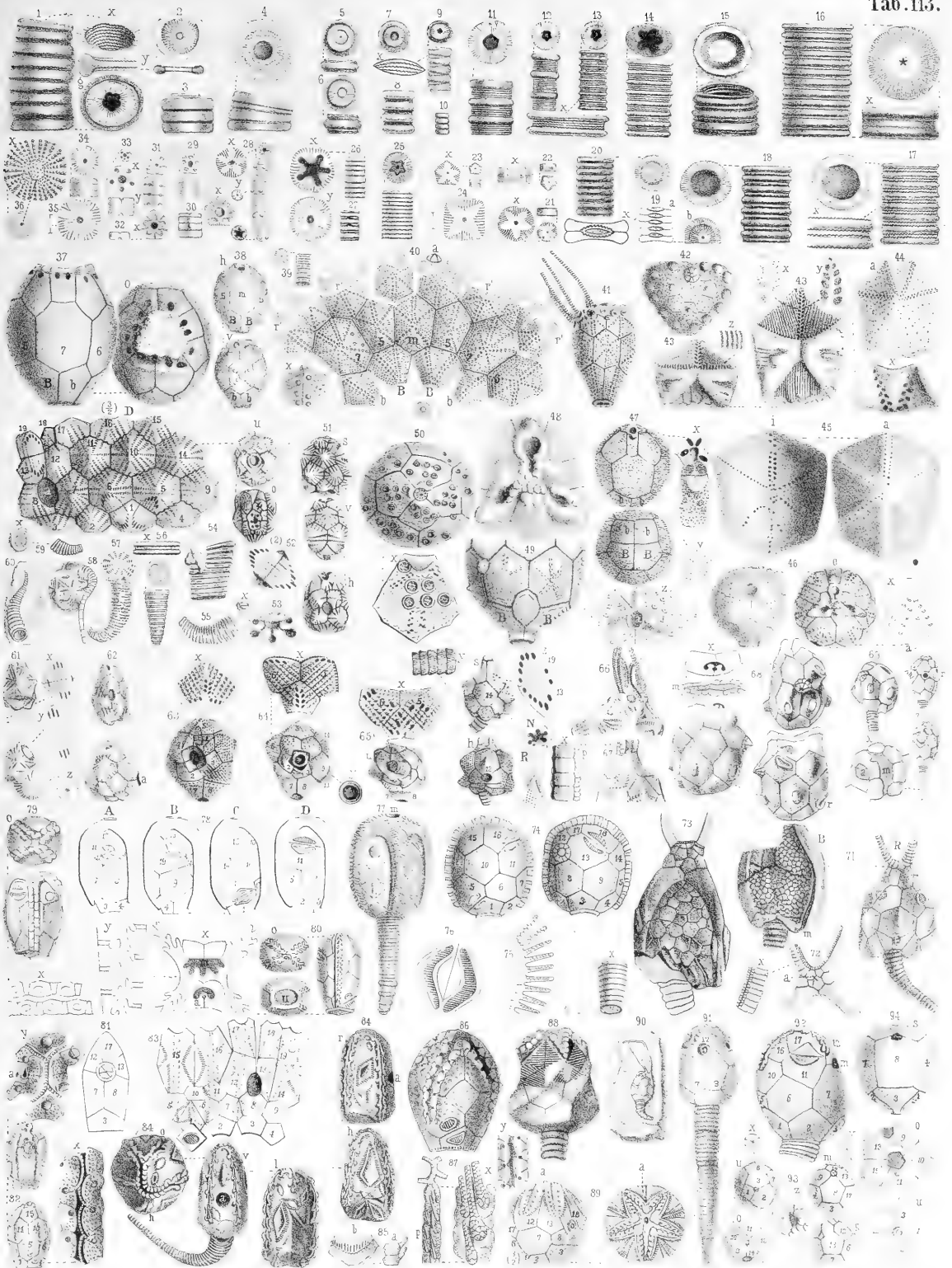


Erklärung tab. 112.

- Fig.
1—4 Cupressocrinus abbreviatus pag. 624, Eifeler Kalk, Devon.
5 Cupressocrinus accinctus pag. 625, daher.
6 Cupressocrinus discinctus pag. 625, daher.
7 u. 8 Cupressocrinus abbreviatus pag. 625, daher.
9 Cupressocrinus quadrus pag. 625, daher.
10—15 Cupressocrinus pag. 626, junge Stiele, daher.
16—19 Cupressocrinitenstiele pag. 626, daher.
20 Cupressocrinus elongatus pag. 627, daher, Copie.
21—23 Haplocrinus mespiliformis pag. 627, daher.
24 Haplocrinus stellaris pag. 628, Devon, Enkeberg.
25 Asteroocrinus Murchisoni pag. 628, Devon, Elbersreuth, Copie.
26—28 Mycoocrinus boletus pag. 628, Devon, Eifel, Copie.
29 Triacrinus pyriformis pag. 629, Productenkalk, Regnitzlosau, Copie.
30—34 Triacrinus depressus pag. 630, Eifelerkalk, Kerpen: *s* seitlich, *v* vorn, *h* hinten, *u* unten.
35—37 Triacrinus altus pag. 631, daher.
38 Pisocrinus pilula pag. 631, Dudleykalk, Copie.
39 Pisocrinus ornatus pag. 631, daher, Copie.
40—42 Triacrinus Gothlandicus pag. 631, Mittleres Uebergangsgebirge, Gothland.
43 u. 44 Poteriocrinus fusiformis pag. 632, Eifelerkalk.
45 Eucalyptocrinus rosaceus pag. 633, Eifelerkalk, Copie.
46 desgleichen pag. 634, daher, Copie, Scheitelplatten.
47 desgleichen pag. 633, daher, Kelch von oben.
48 desgleichen pag. 633, daher, Kelch, seitlich.
49 desgleichen pag. 634, daher, Kelch, von unten.
50 desgleichen pag. 634, daher, Kelchtrichter.
51 desgleichen pag. 634, daher, Kelch von unten, *t* Trichter von oben.
52 desgleichen pag. 635, daher, kleiner Kelch.
53 desgleichen pag. 635, daher, Copie.
54 u. 55 desgleichen pag. 635, daher, Stiele.
56 Hypanthocrinus decorus pag. 636, Dudleykalk, Copie.
57 u. 58 Actinocrinus regularis pag. 636, Gothländerkalk.
59 Eucalyptocrinus crassus pag. 637, Niagaragruppe, Lockport.
60 Eucalyptocrinus caelatus pag. 637, Niagaragruppe, Lockport.
61 Lyrioocrinus dactylus pag. 637, daher, Copie.
62 Clonoocrinus Gothlandicus pag. 638, Gothland.
63 Eucalyptocrinus cf. crassus pag. 639, Niagaragruppe, Lockport.
64—67 Entrochi mammillati pag. 639, Eifelerkalk, Devon.
68—71 Entrochi biarticulati pag. 640, daher.
72—77 Entrochi laevis lineati pag. 640, daher.
78 Entrochus laevis sigillatus pag. 641, daher.
79 Entrochus laevis compressus pag. 641, daher.
80 u. 81 Entrochi laevis concavi pag. 641, daher.
82—90 Entrochi tornati pag. 641, daher.
91 Entrochi pares pag. 643, daher.
92—103 Entrochi impares pag. 643, daher.
104—111 Entrochi cingulati impares pag. 645, daher.
112—117 Entr. cingulati pares pag. 647, daher.
118 Entrochus cf. rugosus pag. 647, daher.
119 u. 120 Entrochus micropyle pag. 648, daher.
121—123 Entrochi erecti pag. 648, daher.
124—126 Zitzen-knotige Entrochiten pag. 648, daher.
127 Actinocrinus cf. muricatus Goldf. pag. 649, daher.
128 Actinocrinus muricatus pag. 649, daher, Copie.
129 u. 130 Entrochus moniliferus pag. 649, daher.
131 Entrochus laceratus pag. 649, daher.
132 Entrochus dentatus pag. 649, daher.
133 Entrochit pag. 650, daher.
134 Entrochit pag. 650, daher, vergrößerter Querschnitt.

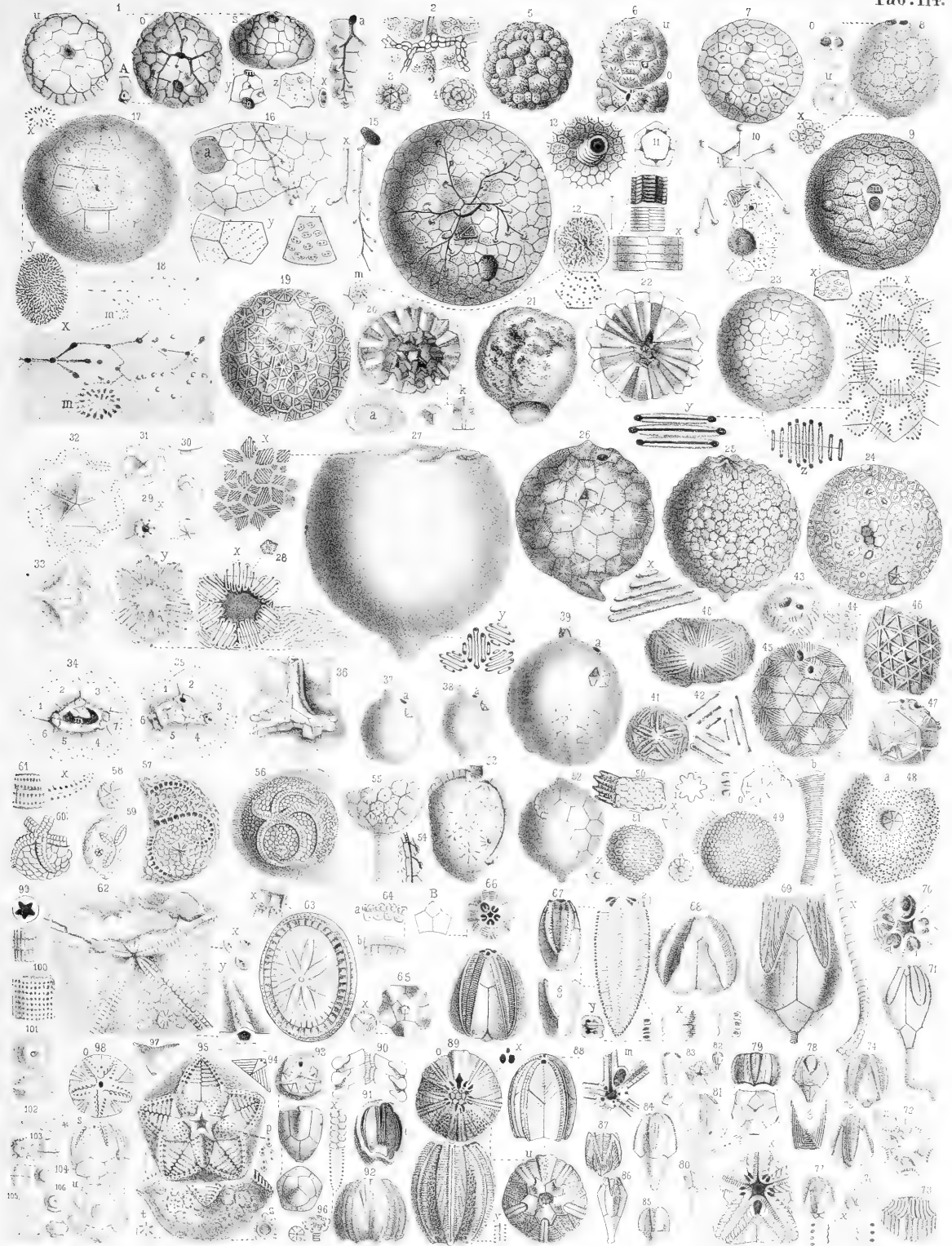
Erklärung tab. 113.

- Fig.
1—10 Entrochi ligati pag. 650, Eifelerkalk, Devon.
11—15 Entrochi cf. rosacei pag. 651, daher.
16—20 Entrochi cf. tornati pag. 652, daher.
21—24 Entrochi stellati pag. 653, Devon, Enkeberg.
25—28 Entrochi stellati pag. 654, Devon, Eifel.
29—32 Pentacrinus lobatus pag. 655, Vaginatenkalk, Pulkowa.
33 Sphenocrinus obtusus pag. 655, daher.
34 u. 35 Entrochus quadrinus pag. 656, daher.
36 desgleichen pag. 656, daher, x stark vergrößerter Nahrungskanal.
37 u. 38 Caryocrinus ornatus pag. 662, Mittleres Uebergangsgebirge, Tennessee.
39 desgleichen pag. 661, daher, Lockport, Copie.
40 desgleichen pag. 662, daher, Copie.
41 u. 42 desgleichen pag. 663, daher, Copie.
43 u. 44 desgleichen pag. 663, Platten, Tennessee.
45 Caryocrinus Europæus pag. 665, Platte, Néfiez.
46—48 Hemicosmites pyriformis pag. 665, Vaginatenkalk, Petersburg.
49 Hemicosmites extraneus pag. 668, daher, Copie.
50 Hemicosmites malum pag. 667, daher, Copie.
51 Echinoencrinus angulosus pag. 669, Vaginatenkalk, Pulkowa, D abgewickelt, aber nicht durch den Spiegel gezeichnet.
52 u. 53 desgleichen pag. 670, daher, Porenrhombus und Mundnabel vergrößert.
54—59 desgleichen pag. 672, daher, Stiele.
60 Cornulites serpularius pag. 672, Uebergangsgebirge, Copie.
61 u. 62 Echinoencrinus cf. granatum pag. 672, Vaginatenkalk, Pulkowa.
63—65 Echinoencrinus striatus pag. 673, daher, nicht durch den Spiegel gezeichnet.
66 Echinoencrinus granatum pag. 675, daher, Arme, Copie.
67 Echinoencrinus striatus pag. 675, daher, Arme, Copie.
68 u. 69 Echinoencrinus armatus pag. 675, Dudleykalk, Copie.
70 Echinoencrinus baccatus pag. 676, daher, Copie.
71 u. 72 Pleurocystites squamosus pag. 677, Trentonkalk, Ottawa.
73 Pleurocystites filitextus pag. 678, daher.
74 u. 75 Pseudocrinus bifasciatus pag. 678, Dudleykalk, Copie.
76 Pseudocrinus magnificus pag. 679, daher, Porenrhombus vergrößert, Copie.
77 u. 78 Pseudocrinus quadrifasciatus pag. 680, daher, Copie.
79 Pseudocrinus oblongus pag. 680, daher, x vergrößertes Armstück, Copie.
80 u. 81 Apiocystites pentrematoides pag. 680, daher, x vergrößerter Mund, Copie.
82 Apiocystites elegans pag. 681, daher, Niagarakalk, Lockport, Copie.
83 u. 84 Glyptocystites multiporus pag. 681, Trentonkalk, Canada, Copie.
85 Glyptocystites Logani pag. 681, daher, Pinnulae und Poren, Copie.
86 u. 87 Callocystites Jewettii pag. 683, Niagarakalk, Lockport, Copie.
88 Glyptocystites giganteus pag. 683, Vaginatenkalk, Paulowsk, Copie.
89 Cystoblastus Leuchtenbergii pag. 684, daher, Copie.
90 Prunocystites Fletscheri pag. 685, Silurisch, Dudley, Copie.
91 u. 92 Lepadoecrinus Gebhardi pag. 684, Helderberggruppe, New-York, Copie.
93 Cryptocrinus lævis pag. 685, Vaginatenkalk, Petersburg.
94 Hypocrinus Schneideri pag. 687, Kohlenkalk, Timor, Copie.



Erklärung tab. 114.

Fig.	
1	<i>Protocrinus oviformis</i> pag. 688, Vaginatenkalk, Petersburg. Nicht durch den Spiegel gez.
2—5	desgleichen pag. 690, daher, Copie nach Volborth.
6	desgleichen pag. 690, daher, Copie nach Verneil.
7	desgleichen pag. 691, Vaginatenkalk, Spitham, Copie nach Eichwald.
8	<i>Echinosphærites pomum</i> pag. 692, Vaginatenkalk, Oeland.
9	desgleichen pag. 691, Schweden, Copie nach Gyllenhabl.
10—16	<i>Echinosphærites Leuchtenbergii</i> pag. 692, Vaginatenkalk, Petersburg.
17 u. 18	<i>Echinosphærites</i> pag. 695, Steinkern, Vaginatenkalk, Kröplia.
19	Ostracion pag. 695, Copie nach Walch.
20—22	<i>Echinosphærites pomum</i> pag. 696, Vaginatenkalk (Krystallapfel).
23	<i>Echinosphærites aurantium</i> pag. 696, Vaginatenkalk, Petersburg, α Porenrauten vergrößert.
24 u. 25	desgleichen pag. 700, Schweden, Copie nach Gyllenhabl.
26	<i>Echinosphærites</i> Gyllenhabl pag. 700, daher, desgleichen.
27 u. 28	desgleichen pag. 697, Geschiebe, Mecklenburg.
29 u. 30	desgleichen pag. 698, Vaginatenkalk, Petersburg, Stielansatz.
31 u. 32	desgleichen pag. 698, daher, Ovarialöffnungen mit Umgebung.
33	desgleichen pag. 698, daher, Afterloch mit Klappen, vergrößert.
34 u. 35	desgleichen pag. 699, daher, Mundloch m , vergrößert.
36	desgleichen pag. 699, daher, Copie der Mündung.
37—39	desgleichen pag. 699, daher, verschiedene Körper.
40—44	<i>Echinosphærites granatum</i> pag. 701, Silurisch.
45	<i>Sphæronites testudinarius</i> pag. 701, Vaginatenkalk, Oeland, Copie.
46	<i>Caryocystites Davisii</i> pag. 701, Balakalk, England, Copie.
47	<i>Caryocystites granatum</i> pag. 701, daher, Copie.
48	<i>Achradocystites Grewingkii</i> pag. 702, Vaginatenkalk, Esthland, Copie.
49	<i>Cyclocrinus Spaskii</i> pag. 703, Vaginatenkalk, Copie.
50	<i>Sphærites regularis</i> pag. 703, Oberster Jura, Cammin, Abdruck auf einer Austerschale.
51	<i>Bothriocrinus globulus</i> pag. 704, Vaginatenkalk, Petersburg, Copie.
52	<i>Malocystites Barrandi</i> pag. 704, Chazylimestone, Canada, Copie.
53	<i>Amygdalocystites florealis</i> pag. 704, Trentonkalk, Canada, Copie.
54	<i>Amygdalocystites tennistriatus</i> pag. 704, daher, Copie, Arm.
55	<i>Amygdalocystites radiatus</i> pag. 705, daher, Copie.
56	<i>Agelacrinus Cincinnatiensis</i> pag. 706, Trentonkalk, Ohio, Copie.
57	<i>Agelacrinus Rhenanus</i> pag. 707, Grauwacke, Unkel, Copie.
58	<i>Agelacrinus parasitica</i> pag. 707, Niagaraalk, Lockport, Copie.
59	<i>Agelacrinus Billingsii</i> pag. 707, Trentonkalk, Canada, Copie.
60	<i>Agelacrinus Dicksoni</i> pag. 707, Trentonkalk, Canada, Copie.
61	<i>Edrioaster Bigsbyi</i> pag. 708, daher, Copie.
62	<i>Mesites Pusirefskii</i> pag. 708, Vaginatenkalk vom Flusse Wolchow, Copie.
63	<i>Cyclocystoides Davisii</i> pag. 709, Llandoveryrock, Südwallis, Copie.
64	<i>Cyclocystoides Halli</i> pag. 709, Trentonkalk, Ottawa, Copie.
65—67	<i>Pentremites florealis</i> pag. 714, Bergkalk, Amerika.
68	<i>Pentr. florealis</i> var. pag. 715, Bergkalk, Huntsville.
69	<i>Pentr. florealis</i> pag. 712, Bergkalk, Copie.
70	desgleichen pag. 713, vergrößerter Scheitel.
71	<i>Pentremites pyriformis</i> pag. 715, Kaskaskialimestone, Chester, Copie.
72	<i>Pentr. florealis</i> pag. 714, Querschnitt, die Falten zu zeigen.
73	desgleichen pag. 714, Falten, Copie.
74	desgleichen pag. 714, Normalkrone, Kohlenkalk, St. Louis.
75	<i>Pentremites conoideus</i> pag. 715, Warsaw-Limestone, Amerika, verkieselt.
76 u. 77	<i>Pentremites sulcatus</i> pag. 716, Bergkalk, Illinois.
78	<i>Pentremites Orbignyianus</i> pag. 716, Bergkalk, Tournay.
79	<i>Pentremites crenulatus</i> pag. 717, daher.
80	<i>Pentremites Schultzii</i> pag. 718, Devon, Ferrones, Copie.
81	<i>Pentremites Pailletii</i> pag. 718, daher, Copie.
82 u. 83	<i>Pentremites Eifeliensis</i> pag. 718, Eifelerkalk.
84 u. 85	<i>Pentremites clavatus</i> pag. 719, Eifelerkalk, Pelm, Copie.
86	<i>Pentremites Reinwardtii</i> pag. 719, Silur, Tennessee, Copie.
87	<i>Pentremites ovalis</i> pag. 716, Bergkalk, Ratingen.
88	<i>Pentremites ellipticus</i> pag. 718, Bergkalk, Bolland, Copie.
89 u. 90	<i>Elæocrinus Verneuilii</i> pag. 720, Devon, Louisville.
91 u. 92	<i>Elæocrinus Sayi</i> pag. 721, Bergkalk, Burlington.
93 u. 94	<i>Codaster acutus</i> pag. 722, Bergkalk, Bolland, Copie.
95	<i>Asteroblastus stellatus</i> pag. 723, Vaginatenkalk, Pulkowa, Copie.
96	<i>Asteroblastus Volborthii</i> pag. 724, daher, verkleinerte Copie.
97	<i>Blastoidocrinus Carchariædens</i> pag. 724, Chazylimestone, Canada, Copie.
98	<i>Cycloblastus Leuchtenbergii</i> pag. 724, Vaginatenkalk, Russland, Copie.
99	<i>Grammoocrinus lineatus</i> pag. 725, chloritischer Vaginatenkalk, Petersburg, Copie.
100	<i>Grammoocrinus clathratus</i> pag. 725, daher, Copie.
101—104	<i>Mazatrochi</i> pag. 726, Vaginatenkalk, Petersburg.
105	<i>Trochit?</i> pag. 727, Bergkalk, Bultonmould-Knobs.
106	<i>Poteriocrinus biplex</i> pag. 727, Vaginatenkalk, Petersburg.



3 2044 110 320

